

สํานักงาน กองทุนสนับสนุนการวิจัย
ต.และนวัตกรรม จ.เมือง ชลบุรี 20131

การพยากรณ์การกัดเซาะชายฝั่ง จังหวัดชลบุรี

PREDICTION OF COASTAL EROSION AT CHANTHABURI

สุพัชรีภรณ์ พลเคน

SUPATCHARIPORN POLKEN

๑๒ ๒๕๕๑

๑๖๒๔

ปัญหาพิเศษนี้เป็นส่วนหนึ่งของการศึกษาตามหลักสูตรปริญญาวิทยาศาสตรบัณฑิต

สาขาวิชาเทคโนโลยีทางทะเล

คณะเทคโนโลยีทางทะเล มหาวิทยาลัยนอร์เวย์

ปีการศึกษา ๒๕๕๐

ลิขสิทธิ์เป็นของมหาวิทยาลัยนอร์เวย์

หัวข้อปัญหาพิเศษ การพยากรณ์การกัดเซาะชายฝั่ง จังหวัดจันทบุรี

PREDICTION OF COASTAL EROSION AT CHANTHABURI

โดย นางสาวสุพัชรีกรรณ พลกนก

คณะ เทคโนโลยีทางทะเล

อาจารย์ที่ปรึกษา ผู้ช่วยศาสตราจารย์ กัญจน์ จรรจุขุต

อาจารย์ที่ปรึกษาร่วม ผู้ช่วยศาสตราจารย์ ดร. ชาลี ไพบูลย์กิจกุล

คณะเทคโนโลยีทางทะเลได้พิจารณาปัญหาพิเศษฉบับนี้แล้ว เห็นสมควรรับเป็นส่วนหนึ่งของการศึกษาตามหลักสูตรปริญญาวิทยาศาสตรบัณฑิต สาขาวิชาเทคโนโลยีทางทะเล ของมหาวิทยาลัยบูรพา

.....รักษาการคณบดีคณะเทคโนโลยีทางทะเล
(รองศาสตราจารย์ ดร. อรุณี เทอดเทพพิทักษ์)

คณะกรรมการตรวจสอบปัญหาพิเศษ

.....ประธาน
ค.ส.น. วิรชัย

(ผู้ช่วยศาสตราจารย์ กัญจน์ จรรจุขุต)

.....กรรมการ
.....กรรมการ
(ผู้ช่วยศาสตราจารย์ ดร. ชาลี ไพบูลย์กิจกุล)

.....กรรมการ
.....กรรมการ
(อาจารย์ชลัษฐ์ ภัทรสถาพรกุล)

ประกาศคุณปู่การ

ปัญหาพิเศษฉบับนี้สำเร็จลุล่วงไปได้ด้วยดี ข้าพเจ้าขอขอบพระคุณกรรมอุตุนิยมวิทยา กรมอุทกศาสตร์ กรมการขนส่งทางน้ำและพาณิชยนาวี และสำนักงานพัฒนาเทคโนโลยีอาชีวศึกษาและภูมิสารสนเทศ (องค์การมหาชน) ที่ให้ความอนุเคราะห์ข้อมูลในการทำปัญหาพิเศษครั้งนี้

ข้าพเจ้าขอขอบพระคุณ พศ.กัญลิน จิรรุษยุต อาจารย์ที่ปรึกษาปัญหาพิเศษ ที่เคยให้คำปรึกษา ให้คำแนะนำ และข้อคิดเห็นต่างๆ ที่เป็นประโยชน์ต่อการทำปัญหาพิเศษในครั้งนี้จนสำเร็จลุล่วงไปได้ด้วยดี ตลอดจนตรวจทานแก้ไขปัญหาพิเศษฉบับนี้ให้สมบูรณ์มากยิ่งขึ้น

ขอขอบพระคุณ พศ.ดร.ชลี ไพบูลย์กิจกุล อาจารย์ที่ปรึกษาร่วม ที่เคยให้คำปรึกษา และช่วยเหลือในการติดต่อประสานงานกับหน่วยงานข้างต้น เพื่อขอความอนุเคราะห์ข้อมูลที่เกี่ยวข้องกับการทำปัญหาพิเศษครั้งนี้ ตลอดจนตรวจทานแก้ไขปัญหาพิเศษฉบับนี้ให้สมบูรณ์มากยิ่งขึ้น

ขอขอบพระคุณอาจารย์ธนัฐ กัทรสถาพรกุล ที่ให้ความกรุณารับเป็นกรรมการสอบและแก้ไขปัญหาพิเศษให้มีความสมบูรณ์มากยิ่งขึ้น รวมทั้งเคยให้คำปรึกษา ว่ากล่าว ตักเตือน และคำแนะนำต่างๆ ที่ดีเสมอมา

ขอขอบพระคุณคณาจารย์ทุกท่านที่ได้อนรมสั่งสอน ถ่ายทอดความรู้ แนวคิดในการดำเนินชีวิต พร้อมทั้งให้คำปรึกษาต่างๆ ขอขอบพระคุณ พศ.ดร.ชลี ไพบูลย์กิจกุลและอาจารย์ธนัฐ กัทรสถาพรกุล อาจารย์ที่ปรึกษาประจำชั้นที่เคยดูแล ช่วยเหลือมาโดยตลอด

ขอขอบคุณเพื่อนๆ ทุกคนที่เคยให้กำลังใจและสนับสนุนเพื่อให้ปัญหาพิเศษนี้สำเร็จลุล่วงไปได้ด้วยดี โดยเฉพาะนางสาวพรพิมล แตงตาล นายจีรายุทธ หาชิต และเพื่อนร่วมห้อง (นางสาวธนุช พนมานะ นางสาวบุญญาพร เกื้อปัญญา นางสาวบริโภณ์ ศรียงค์ นางสาวรัชดา พฤกษ์-ชารวัชกุล และนางสาวอารียา กวนกวย) ที่เคยดูแลข้าพเจ้าตั้งแต่ปี ๑ จนถึงปัจจุบัน

สุดท้ายนี้ขอกราบขอบพระคุณบิดา มารดา ที่ให้การสนับสนุน ช่วยเหลือในทุกๆ ด้าน และเคยให้กำลังใจในการทำงานตลอดระยะเวลา และขอขอบคุณญาติพี่น้องทุกๆ คนที่เคยให้กำลังใจมาโดยตลอด

สุพัชรีกรรณ์ พลเคน

มีนาคม 2551

47330640: สาขาวิชา: เทคโนโลยีทางทะเล; วท.บ. (เทคโนโลยีทางทะเล)

คำสำคัญ: การกัดเซาะชายฝั่ง / การวิเคราะห์การคลดคลอน / สมการพยากรณ์ / จันทบุรี

สูพัชรีกรรณ์ พลเคน: การพยากรณ์การกัดเซาะชายฝั่ง จังหวัดจันทบุรี (PREDICTION OF COASTAL EROSION AT CHANTHABURI) อาจารย์ที่ปรึกษาปัจจุบันพิเศษ: ผศ.กัญลิน จรัสชัยฤทธิ์, วท.ม., อาจารย์ที่ปรึกษาปัจจุบันพิเศษร่วม: ผศ.ดร.ชลี ไพบูลย์กิจกุล, วท.ค., 82 หน้า 2550.

การศึกษาอัตราการกัดเซาะพื้นที่ชายฝั่ง จังหวัดจันทบุรี ตั้งแต่ปี 2541 ถึงปี 2549 โดยใช้ดาวเทียม LANDSAT ระบบ TM ร่วมกับระบบสารสนเทศทางภูมิศาสตร์ พบว่าชายฝั่งจังหวัดจันทบุรี ตั้งแต่ปี 2541 ถึงปี 2549 มีอัตราการกัดเซาะปานกลางที่ระดับ 1-5 เมตรต่อปี และการพยากรณ์การกัดเซาะชายฝั่ง จังหวัดจันทบุรี โดยใช้ความสัมพันธ์ระหว่างความชื้นในอากาศ ความสูงคลื่น ความเร็วลม น้ำขึ้น-น้ำลง ปริมาณน้ำฝนและอุณหภูมิ โดยการหาสัมประสิทธิ์สหสัมพันธ์ ร่วมกับการวิเคราะห์การคลดคลอนเชิงเส้นตรง พบว่าความชื้นในอากาศ ความสูงคลื่น ความเร็วลม น้ำขึ้น-น้ำลง ปริมาณน้ำฝนและอุณหภูมิ มีค่าสัมประสิทธิ์สหสัมพันธ์ (Correlation Coefficients) $r = .982, .611, .497, .276, .272$, และ $-.444$ ตามลำดับ และได้สมการพยากรณ์การกัดเซาะชายฝั่ง จังหวัดจันทบุรีทั้งหมด 20 รูปแบบ โดยมีค่าสัมประสิทธิ์การตัดสินใจ (Coefficient of Determination) $R^2 = 1$

47330640: MAJOR: MARINE TECHNOLOGY; M.Sc. (MARINE TECHNOLOGY)

KEYWORD: EROSION / REGRESSION ANALYSIS / PREDICTION / CHANTHABURI

SUPATCHARIPORN POLKEN: PREDICTION OF COASTAL EROSION AT
CHANTHABURI. SPECIAL PROBLEM ADVISOR: ASST. PROF.KANYALIN
JIRATCHAYUT,M.Sc., SPECIAL PROBLEM CO-ADVISOR: ASST. PROF.CHALEE
PAIBULKIKUL, Ph.D., 2007

The object of this study was to investigate the coastal erosion in Chanthaburi from 1998 to 2006 and find out an equation for predicting the coastal erosion. This study utilized several types of data, including humidity, wave height, wind speed, tide, rainfall, temperature and LANDSAT data. LANDSAT data were utilized to investigate the coastal erosion rate. Then the erosion rate as well as the other data were used in linear regression analysis to find out the equation for predicting the coastal erosion.

The results showed that the coastline of Chanthaburi has erosion rate at 1-5 meters per year. Correlation coefficients (r) of the coastal erosion with humidity, wave height, wind speed, tide, rainfall and temperature were 0.982, 0.611, 0.497, 0.276, 0.272, and -0.444, respectively. After analyzing the linear regression equation, there were 20 equations for predicting the coastal erosion in Chanthaburi and coefficient of determination (R^2) was 1.000.

สารบัญ

หน้า

ประการคุณปการ.....	๑
บทคัดย่อไทย.....	๑
บทคัดย่ออังกฤษ.....	๑
สารบัญ.....	๒
สารบัญตาราง.....	๓
สารบัญภาพ.....	๔
บทที่	
1. บทนำ.....	
ความเป็นมาและความสำคัญของปัญหา.....	๑
วัตถุประสงค์ของการวิจัย.....	๒
ประโยชน์ที่คาดว่าจะได้รับจากการวิจัย.....	๒
ขอบเขตการศึกษา	๒
2. เอกสารที่เกี่ยวข้อง.....	
การกัดเซาะ.....	๓
สาเหตุการพังทลายของดิน.....	๓
ปัจจัยทางธรรมชาติที่มีผลต่อการกัดเซาะชายฝั่ง.....	๔
ปัจจัยจากกิจกรรมมนุษย์มีผลต่อการกัดเซาะชายฝั่ง.....	๔
การสำรวจระยะไกล (Remote Sensing).....	๕
กระบวนการทำงานของการสำรวจระยะไกล.....	๖
ระบบสารสนเทศภูมิศาสตร์ (Geographic Information System: GIS).....	๖
ดาวเทียม LANDSAT	๘
สัมประสิทธิ์สหสัมพันธ์ (Correlation Coefficient)	๑๐
การวิเคราะห์ความถดถอย (Regression Analysis).....	๑๑
การวิเคราะห์ความถดถอยเชิงเส้น (Linear Regression Analysis).....	๑๑
สัมประสิทธิ์การตัดสินใจ (Coefficient of Determination: R ²).....	๑๒
งานวิจัยที่เกี่ยวข้อง.....	๑๓

สารบัญ (ต่อ)

หน้า

3. วิธีดำเนินงานวิจัย.....	
พื้นที่ศึกษา.....	17
อุปกรณ์ที่ใช้ในการศึกษา.....	17
ขั้นตอนการดำเนินงาน.....	17
4. ผลการวิจัย.....	
ข้อมูลทางอุดมวิทยา	19
ข้อมูลทางสารสนเทศภูมิศาสตร์.....	21
การวิเคราะห์การถดถอย	21
สหสัมพันธ์ระหว่างข้อมูล.....	22
การหาสมการวิเคราะห์การถดถอยที่ใช้ในการพยากรณ์การกัดเซาะชายฝั่ง.....	23
5. อภิปรายและสรุปผล.....	
การศึกษาอัตราการกัดเซาะพื้นที่ชายฝั่ง จังหวัดจันทบุรี ตั้งแต่ปี 2541 ถึงปี 2549.....	28
การหาสมการพยากรณ์การกัดเซาะชายฝั่ง จังหวัดจันทบุรี.....	28
สหสัมพันธ์.....	28
การหาสมการวิเคราะห์การถดถอยเชิงเส้น.....	30
อภิปรายผล.....	32
ข้อเสนอแนะ.....	33
บรรณานุกรม.....	34
ภาคผนวก.....	36
ภาคผนวก ก.....	37
ภาคผนวก ข.....	39
ภาคผนวก ค.....	79
ประวัติย่อของผู้วิจัย.....	81

สารบัญตาราง

ตารางที่	หน้า
2-1 ศักยภาพของดาวเทียมสำรวจทรัพยากร LANDSAT ระบบ TM	
รายละเอียด 30 เมตร	9
4-1 ความสัมพันธ์ของพื้นที่ชายฝั่งที่ถูกกัดขาด ลม ความสูงคลื่น น้ำขึ้น- น้ำลง ปริมาณน้ำฝน อุณหภูมิและความชื้นในอากาศ.....	23
4-2 ตัวแปรอิสระ ค่า R^2 และสมการที่ใช้ในการพยากรณ์การกัดขาดชายฝั่ง (ที่ระดับ ความเชื่อมั่น 95%).....	25
4-3 ค่าสูงสุดและค่าต่ำสุดของตัวแปรอิสระ	28
5-1 ค่าสูงสุดและค่าต่ำสุดของตัวแปรอิสระ	33
ก-1 ความสัมพันธ์ของพื้นที่ชายฝั่งที่ถูกกัดขาด ลม ความสูงคลื่น น้ำขึ้น- น้ำลง ปริมาณน้ำฝน อุณหภูมิและความชื้นในอากาศ.....	38
ข-1 ค่า R^2 และการวิเคราะห์ค่าสมการการลดด้อยของ ความชื้นในอากาศ.....	40
ข-2 ค่า R^2 และการวิเคราะห์ค่าสมการการลดด้อยของ ความสูงคลื่น.....	41
ข-3 ค่า R^2 และการวิเคราะห์ค่าสมการการลดด้อยของ ความเร็วลม.....	42
ข-4 ค่า R^2 และการวิเคราะห์ค่าสมการการลดด้อยของ อุณหภูมิ.....	43
ข-5 ค่า R^2 และการวิเคราะห์ค่าสมการการลดด้อยของ น้ำขึ้น - น้ำลง.....	44
ข-6 ค่า R^2 และการวิเคราะห์ค่าสมการการลดด้อยของ ปริมาณน้ำฝน.....	45
ข-7 ค่า R^2 และการวิเคราะห์ค่าสมการการลดด้อยของ ความสูงคลื่น, ความเร็วลม.....	46
ข-8 ค่า R^2 และการวิเคราะห์ค่าสมการการลดด้อยของ ความชื้นในอากาศ, ปริมาณ น้ำฝน.....	47
ข-9 ค่า R^2 และการวิเคราะห์ค่าสมการการลดด้อยของ ความสูงคลื่น, ความชื้นใน อากาศ.....	48
ข-10 ค่า R^2 และการวิเคราะห์ค่าสมการการลดด้อยของ ความเร็วลม, ความชื้นใน อากาศ.....	49
ข-11 ค่า R^2 และการวิเคราะห์ค่าสมการการลดด้อยของ ความชื้นในอากาศ, น้ำขึ้น - น้ำลง.....	50
ข-12 ค่า R^2 และการวิเคราะห์ค่าสมการการลดด้อยของ น้ำขึ้น – น้ำลง, ความสูงคลื่น...	51
ข-13 ค่า R^2 และการวิเคราะห์ค่าสมการการลดด้อยของ ความสูงคลื่น, อุณหภูมิ.....	52

สารบัญตาราง (ต่อ)

ตารางที่	หน้า
ข-14 ค่า R^2 และการวิเคราะห์ค่าสมการการลดด้อยของ น้ำเขื่น – น้ำลง, ความเร็วลม....	53
ข-15 ค่า R^2 และการวิเคราะห์ค่าสมการการลดด้อยของ ความเร็วลม, อุณหภูมิ.....	54
ข-16 ค่า R^2 และการวิเคราะห์ค่าสมการการลดด้อยของ น้ำเขื่น – น้ำลง, อุณหภูมิ.....	55
ข-17 ค่า R^2 และการวิเคราะห์ค่าสมการการลดด้อยของ ความเร็วลม, ปริมาณน้ำฝน....	56
ข-18 ค่า R^2 และการวิเคราะห์ค่าสมการการลดด้อยของ ปริมาณน้ำฝน, อุณหภูมิ.....	57
ข-19 ค่า R^2 และการวิเคราะห์ค่าสมการการลดด้อยของ น้ำเขื่น- น้ำลง, ปริมาณน้ำฝน....	58
ข-20 ค่า R^2 และการวิเคราะห์ค่าสมการการลดด้อยของ น้ำเขื่น – น้ำลง, ความสูงคลื่น, ความเร็วลม.....	59
ข-21 ค่า R^2 และการวิเคราะห์ค่าสมการการลดด้อยของ ปริมาณน้ำฝน, ความสูงคลื่น ความเร็วลม.....	60
ข-22 ค่า R^2 และการวิเคราะห์ค่าสมการการลดด้อยของ อุณหภูมิ, ความสูงคลื่น, ความเร็วลม.....	61
ข-23 ค่า R^2 และการวิเคราะห์ค่าสมการการลดด้อยของ ความชื้นในอากาศ, ความเร็ว ลม, ความสูงคลื่น.....	62
ข-24 ค่า R^2 และการวิเคราะห์ค่าสมการการลดด้อยของ ความสูงคลื่น, ปริมาณน้ำฝน, น้ำเขื่น- น้ำลง.....	63
ข-25 ค่า R^2 และการวิเคราะห์ค่าสมการการลดด้อยของ อุณหภูมิ, น้ำเขื่น- น้ำลง, ความ สูงคลื่น.....	64
ข-26 ค่า R^2 และการวิเคราะห์ค่าสมการการลดด้อยของ ความสูงคลื่น, ความชื้นใน อากาศ, น้ำเขื่น- น้ำลง.....	65
ข-27 ค่า R^2 และการวิเคราะห์ค่าสมการการลดด้อยของ ปริมาณน้ำฝน, อุณหภูมิ, ความสูงคลื่น.....	66
ข-28 ค่า R^2 และการวิเคราะห์ค่าสมการการลดด้อยของ ความสูงคลื่น, ปริมาณน้ำฝน, ความชื้นในอากาศ.....	67
ข-29 ค่า R^2 และการวิเคราะห์ค่าสมการการลดด้อยของ อุณหภูมิ, ความสูงคลื่น, ความชื้นในอากาศ.....	68

สารบัญตาราง (ต่อ)

ตารางที่	หน้า
ข-30 ค่า R^2 และการวิเคราะห์ค่าสมการการลดด้อยของ ลม, ปริมาณน้ำฝน, น้ำชืน-น้ำลง.....	69
ข-31 ค่า R^2 และการวิเคราะห์ค่าสมการการลดด้อยของ น้ำชืน-น้ำลง, อุณหภูมิ, ความเร็วลม.....	70
ข-32 ค่า R^2 และการวิเคราะห์ค่าสมการการลดด้อยของ ความชื้นในอากาศ, น้ำชืน-น้ำลง, ความเร็วลม.....	71
ข-33 ค่า R^2 และการวิเคราะห์ค่าสมการการลดด้อยของ ความเร็วลม, อุณหภูมิ, ปริมาณน้ำฝน.....	72
ข-34 ค่า R^2 และการวิเคราะห์ค่าสมการการลดด้อยของ ความเร็วลม, ความชื้นในอากาศ, ปริมาณน้ำฝน.....	73
ข-35 ค่า R^2 และการวิเคราะห์ค่าสมการการลดด้อยของ อุณหภูมิ, ความเร็วลม, ความชื้นในอากาศ.....	74
ข-36 ค่า R^2 และการวิเคราะห์ค่าสมการการลดด้อยของ น้ำชืน-น้ำลง, ปริมาณน้ำฝน, อุณหภูมิ.....	75
ข-37 ค่า R^2 และการวิเคราะห์ค่าสมการการลดด้อยของ น้ำชืน-น้ำลง, ความชื้นในอากาศ, ปริมาณน้ำฝน.....	76
ข-38 ค่า R^2 และการวิเคราะห์ค่าสมการการลดด้อยของ น้ำชืน-น้ำลง, ความชื้นในอากาศ, อุณหภูมิ.....	77
ข-39 ค่า R^2 และการวิเคราะห์ค่าสมการการลดด้อยของ อุณหภูมิ, ปริมาณน้ำฝน, ความชื้นในอากาศ.....	78

สารบัญภาพ

ภาพที่

หน้า

ค-1 การเปลี่ยนแปลงพื้นที่ชายฝั่งจากภาพถ่ายดาวเทียม LANDSAT ปี 2541– 2549..... 80

บทที่ 1

บทนำ

ความเป็นมาและความสำคัญของปัญหา

ประเทศไทยมีความยาวชายฝั่งทั้งสิ้น 2,614 กิโลเมตร แบ่งออกเป็นชายฝั่งทะเลด้านอ่าวไทย 1,660 กิโลเมตร ชายฝั่งด้านทะเลอันดามัน 954 กิโลเมตร ครอบคลุมพื้นที่ 23 จังหวัด ในปัจจุบันชายฝั่งทะเลของประเทศไทยได้ประสบปัญหาการถูกกัดเซาะในอัตราความรุนแรงที่เพิ่มขึ้น ก่อให้เกิดความสูญเสียทรัพย์สินของประชาชนและทรัพย์สินของทางราชการ ทำให้เสียทัศนียภาพ ก่อให้เกิดผลกระทบต่อการท่องเที่ยว เกิดความสูญเสียทางเศรษฐกิจต่อประชาชน ซึ่งสาเหตุของการ กัดเซาะมาจาก

1. สาเหตุจากธรรมชาติ คือ การเพิ่มขึ้นของระดับน้ำทะเล การพังทลายของหน้าหาดดลง ทำ ให้ปริมาณตะกอนทรายแน่นมีปริมาณน้อย ปริมาณตะกอนจากทะเลที่พัดพาเข้าสู่ฝั่งลดลง คลื่นและ ลมมีความรุนแรงผิดปกติ ทิศทางของคลื่นเปลี่ยนแปลง กระแสน้ำมีการเปลี่ยนแปลงตามธรรมชาติ และปริมาณฝนตกที่มากกว่าปกติ

2. สาเหตุจากการกระทำการของมนุษย์ที่ทำให้เกิดการพังทลายของชายฝั่ง ซึ่งเกิดจากการสร้าง Hard engineering Solution, Soft engineering Solution และการสร้างเขื่อนหรือฝายกันแม่น้ำ

การสร้างวิศวกรรมโครงสร้างแข็ง (Hard engineering Solution) ในบริเวณหนึ่งก่อให้เกิด ผลกระทบต่อบริเวณหนึ่ง ทำให้ตะกอนที่เคยพัฒนาสะสมบริเวณชายฝั่งถูกดักและตอกตะกอนอยู่ บริเวณอื่น ทำให้เกิดความลาดชันของชายฝั่งบริเวณที่มีการสร้าง Hard engineering Solution สูงขึ้น ซึ่งเป็นเรื่องการกัดเซาะชายฝั่ง

การสร้างวิศวกรรมโครงสร้างยืดหยุ่น (Soft engineering Solution) เช่น การถอนสร้าง ชายหาดเทียม (beach nourishment) ต้องมีการบุกทรายในทะเลจากสถานที่หนึ่งมาตอนในบริเวณ ชายหาด และในบริเวณที่มีการบุกทรายขึ้นมาจะเกิดหลุมลึก ซึ่งเป็นการเร่งให้เกิดการไหลของ ตะกอนมาเติมเต็มในหลุม และมีผลต่อเนื่องถึงการพังทลายของชายฝั่งบริเวณใกล้เคียง

การสร้างเขื่อนหรือฝายกันแม่น้ำ เป็นสาเหตุหนึ่งที่ทำให้เกิดการพังทลายของชายฝั่งทะเล เนื่องจากตะกอนที่จะมาทับถมบริเวณชายฝั่งมีปริมาณน้อยลง เพราะตะกอนถูกกักไว้ที่เขื่อนหรือ ฝาย รวมถึงการบุกทรายในแม่น้ำเพื่อใช้ในการก่อสร้างและเพื่อการถอนที่ ก็เป็นอีกปัจจัยหนึ่งที่ทำให้ เกิดปัญหาการกัดเซาะชายฝั่ง

จังหวัดจันทบุรีมีชายฝั่งทะเลระยะทางยาวประมาณ 108 กิโลเมตร โดยการกัดเซาะชายฝั่งเกิดจากการกระทำของธรรมชาติหรือการกระทำของมนุษย์ ซึ่งในบริเวณที่มีการกัดเซาะชายฝั่งนี้จะส่งผลต่อสภาพชายฝั่ง นำไปสู่ผลกระทบต่อการท่องเที่ยวและการดำเนินชีวิตของประชาชนบริเวณนั้น ทำให้ต้องมีการหาวิธีการป้องกันหรือออกแบบวิธีการใช้ประโยชน์ของชายฝั่งและพัฒนาสภาพชายฝั่ง

ในปัจจุบันระบบสารสนเทศทางภูมิศาสตร์ และการสำรวจทางระยะไกล ได้ถูกประยุกต์ใช้ในด้านสิ่งแวดล้อม ซึ่งระบบสารสนเทศภูมิศาสตร์ และการสำรวจทางระยะไกลเป็นเทคนิคในการประเมินการกัดเซาะชายฝั่ง และมีการนำการวิเคราะห์การถดถอยเชิงเส้นตรง (Linear regression Analysis) เข้ามาช่วยในการศึกษาความสัมพันธ์ของข้อมูลและการพยากรณ์หรือประมาณการกัดเซาะในอนาคต ซึ่งถ้าสามารถพยากรณ์พื้นที่ชายฝั่งได้ล่วงหน้า ก็จะสามารถช่วยในการออกแบบวิธีการป้องกันการกัดเซาะหรือวิธีการใช้ประโยชน์ชายฝั่งและพัฒนาชายฝั่งได้ยิ่งขึ้น

วัตถุประสงค์ของการวิจัย

- เพื่อศึกษาอัตราการกัดเซาะพื้นที่ชายฝั่ง จังหวัดจันทบุรี ตั้งแต่ปี 2541 ถึงปี 2549
- เพื่อหาสมการพยากรณ์การกัดเซาะชายฝั่ง จังหวัดจันทบุรี

ประโยชน์ที่คาดว่าจะได้รับจากการวิจัย

- สามารถบอกความสัมพันธ์ระหว่าง ความสูงคลื่น ความเร็วลม น้ำเขื่อนน้ำลำ ปริมาณน้ำฝนอุณหภูมิและความชื้นในอากาศ ที่มีผลต่อพื้นที่ที่ถูกกัดเซาะได้
- สามารถพยากรณ์การกัดเซาะพื้นที่ชายฝั่ง จังหวัดจันทบุรีได้

ขอบเขตการศึกษา

- ปัจจัยที่นำมาใช้ในการพยากรณ์การกัดเซาะ คือ ความเร็วลม คลื่น น้ำเขื่อน-น้ำลำ ปริมาณน้ำฝน อุณหภูมิและความชื้นในอากาศ
- พยากรณ์การกัดเซาะในบริเวณพื้นที่ชายฝั่ง จังหวัดจันทบุรี
- ใช้วิเคราะห์การถดถอยเชิงเส้นตรงที่ระดับความเชื่อมั่น 95 %

บทที่ 2

เอกสารที่เกี่ยวข้อง

การกัดเซาะ

การกัดเซาะ คือ การเคลื่อนที่ออกของดิน โคลน ก้อนหินและอนุภาคอื่น โดยการกระทำของกระแสน้ำ ลม น้ำ หรือน้ำแข็ง โดยเคลื่อนที่ตามแรงโน้มถ่วงโลกหรือสิ่งมีชีวิต

การกัดเซาะชายฝั่งจากสภาพภูมิอากาศ ซึ่งเป็นการทำให้เกิดการย่อ축สภาพของหินและอนุภาคต่างๆ

การกัดเซาะเป็นกระบวนการธรรมชาติ แต่มีหลายแบบริเวณที่การกัดเซาะเกิดเพิ่มขึ้นโดยการใช้ประโยชน์ที่คืนโดยมนุษย์ การใช้ประโยชน์ที่คืนอย่างไม่ดูแลรวมถึงการตัดไม้ทำลายป่า การก่อสร้างอย่างไม่มีการจัดการและการสร้างถนนหรือการสร้างทางเดิน อย่างไรก็ตามการปรับปรุงการใช้ประโยชน์ที่คืนสามารถจำกัดการกัดเซาะได้

การกัดเซาะชายฝั่งเกิดขึ้นในบริเวณชายฝั่งที่ไม่มีที่กำบัง แรกเริ่มเกิดขึ้นจากการกระทำของกระแสน้ำและคลื่น แต่น้ำขึ้น-น้ำลงสามารถเปลี่ยนแปลงชายฝั่งได้ เช่นกัน

ตะกอนจะเคลื่อนที่ตลอดแนวชายฝั่งโดยการควบคุมของกระแสน้ำ เมื่อน้ำขึ้นปริมาณตะกอนจะเพิ่มขึ้น รายหรือก้อนกรวดจะมากขึ้น ซึ่งเป็นการสะสมตะกอนอาจจะมีการข้ามตะกอนอย่างช้าๆ ตลอดแนวชายฝั่งโดยการควบคุมของกระแสน้ำ เป็นการป้องกันชายฝั่งได้ส่วนหนึ่ง ที่บริเวณโถงของชายฝั่งเกิดการกร่อนของวัตถุในบริเวณนั้นก่อให้เกิดคลื่นแคน สันดอนทรัพย์ให้น้ำที่อยู่ห่างออกไปจากชายฝั่งจะป้องกันการกัดเซาะชายฝั่งได้ สันดอนทรัพย์จะเคลื่อนที่ทะนอย การกัดเซาะอาจจะเปลี่ยนทิศทางใหม่ไปกัดเซาะในพื้นที่บริเวณอื่น

(<http://www.wikipedia.com>, 2549)

สาเหตุของการพังทลายหน้าดิน แบ่งได้เป็น 2 ประเภท

1. การฉล้างพังทลายของดิน โดยธรรมชาติ เป็นการฉล้างพังทลายที่เกิดขึ้นเองภายในสภาพแวดล้อม และสิ่งปลูก奚ามธรรมชาติ ซึ่งเป็นการฉล้างพังทลายแบบค่อยเป็นค่อยไป โดยมีทั้งน้ำและลมเป็นตัวการ

2. การชะล้างพังทลายของดินแบบมีตัวเร่ง เป็นการชะล้างพังทลายของดินที่มีมนุษย์และปศุสัตว์เข้าช่วยเร่งให้เกิดการพังทลายเพิ่มขึ้นจากการชะล้างพังทลายของดินที่เกิดขึ้นเป็นประจำโดยธรรมชาติ

การกัดเซาะชายฝั่งทะเลเป็นกระบวนการที่มีปัจจัยมากตามมาเกี่ยวข้องทั้งเกิดจากกระบวนการทำของธรรมชาติและการกระทำของมนุษย์

ปัจจัยทางธรรมชาติที่มีผลต่อการกัดเซาะชายฝั่ง

1. รูปร่างของชายฝั่งทะเลแต่ละรูปแบบจะมีผลต่อการทับถมของตะกอนและการกัดเซาะที่บริเวณชายฝั่งแตกต่างกัน โดยขึ้นกับองค์ประกอบของชายฝั่งบริเวณนั้น

2. ความลึกของพื้นทะเลจะมีอิทธิพลต่อการขุดคุยตะกอนทรารย์ที่พื้นทะเลของคลื่น

3. ลักษณะโครงสร้างและส่วนประกอบทางธรณีวิทยา เช่น ชนิดหินและธารแม่น้ำที่เป็น

ปัจจัยหนึ่งของการกัดเซาะชายฝั่ง

4. ชนิดของพื้นที่พื้นที่ที่ปกคลุมแนวชายฝั่ง เช่น ดินมะพร้าว ดินสน พืชปักคลุ่มหน้าดิน จะช่วยลดความรุนแรงในการกัดเซาะชายฝั่ง

5. อุตุนิยมวิทยาแสดงให้เห็นการเปลี่ยนแปลงฤดูกาลที่เกิดขึ้น เช่น ปริมาณน้ำฝน ความเร็วลมในแต่ละฤดูกาล จะมีผลต่อการกัดเซาะชายฝั่งไม่เท่ากัน

6. ลักษณะคลื่นและลมเป็นปัจจัยที่ส่งผลต่อการกัดเซาะชายฝั่ง ซึ่งเป็นปัจจัยที่เข้าไปในกระบวนการท้ายฝั่งก่อให้เกิดการพังทลายหรือเสียหายของชายฝั่ง

7. กระแสนาในบริเวณใกล้ชายฝั่งเป็นกระแสนาที่เกิดจากคลื่น (wave-driven currents) มี 2 แบบ คือ กระแสนาเลียบชายฝั่ง (long shore currents) ซึ่งจะไหลกลับทิศตามทิศของคลื่นลม เกิดได้ทั้งสองฤดูร้อน เมื่อคลื่นลมเดินทางไปทางประทายฝั่งเรียงๆ และกระแสนาที่ไหลตั้งฉากออกจากฝั่งไปสู่ทะเล (rip currents) ซึ่งกระแสนาชายฝั่งเป็นปัจจัยที่มีผลต่อการเคลื่อนที่ของตะกอน โดยทำให้ตะกอนถูกทับถมหรือถูกพัดพาออกจากชายฝั่งสู่ทะเล (อัปสรสุดา ศิริพงษ์, 2540)

8. การขึ้นลงของน้ำเป็นปัจจัยที่ส่งผลต่อการเคลื่อนที่ของตะกอน โดยทำให้ตะกอนเกิดการทับถมหรือถูกพัดพาออกจากชายฝั่งสู่ทะเล

ปัจจัยจากกิจกรรมมนุษย์ที่มีผลต่อการกัดเซาะชายฝั่ง

เกิดจากการใช้ประโยชน์ที่ดิน การสร้างเขื่อนหรือฝายกันแม่น้ำ หรือแม้กระทั้งการสร้างวิศวกรรมโครงสร้างแข็ง (Hard engineering Solution) ในบริเวณหนึ่งก่อให้เกิดผลกระทบต่อน้ำบริเวณหนึ่ง ทำให้ตะกอนที่เคยพัฒนาและสมบูรณ์หายไปถูกตัดและตะกอนอยู่บริเวณอื่น การ

สร้างวิศวกรรมโครงการสร้างขีดหยุ่น (Soft engineering Solution) ทำให้บริเวณที่มีการสร้างการสร้างวิศวกรรมโครงการสร้างขีดหยุ่น เช่น ถนนสร้างชายหาดเทียม (beach nourishment) ต้องมีการบุคลากรในทะเลจากสถานที่หนึ่งมาดูในบริเวณชายหาด และในบริเวณที่มีการบุคลากรขึ้นมาจะเกิดอุบัติเหตุ ซึ่งเป็นการเร่งให้เกิดการไหลของตะกอนมาเต็มเต็มในห้อง และมีผลต่อเนื่องถึงการพังทลายของชายฝั่งบริเวณใกล้เคียงก่อให้เกิดการกัดเซาะได้เช่นกัน

การสำรวจระยะไกล (Remote Sensing)

การบันทึกหรือการได้มาซึ่งข้อมูลข่าวสารเกี่ยวกับวัตถุ (Object) หรือพื้นที่เป้าหมายที่ปรากฏ (Phenomena) ด้วยอุปกรณ์บันทึกข้อมูล (Sensor) โดยปราศจากการสัมผัสกับวัตถุนั้นๆ โดยอาศัยคุณสมบัติของคลื่นแม่เหล็กไฟฟ้าเป็นสื่อในการได้ข้อมูล 3 ลักษณะ คือ ช่วงคลื่น (Spectral) รูปทรงสัมฐานของวัตถุ (Spatial) และการเปลี่ยนแปลงตามช่วงเวลา (Temporal) ของสิ่งต่างๆ บนพื้นโลก โดยอาจติดตั้งอุปกรณ์บันทึกข้อมูล เช่น กล้องถ่ายภาพไว้ยังที่สูง บนลูกูน เครื่องบิน ยานอวกาศ หรือดาวเทียม

การสำรวจระยะไกลมีองค์ประกอบที่สำคัญ คือ คลื่นแม่เหล็กไฟฟ้า ซึ่งสามารถแยกตามแหล่งกำเนิดพลังงานที่ได้ให้เกิดคลื่นแม่เหล็กไฟฟ้า มี 2 กลุ่ม ใหญ่ คือ

- ระบบการสำรวจระยะไกลโดยอาศัยพลังงานแสงธรรมชาติ (Passive remote sensing) เป็นระบบที่ใช้กันอย่างกว้างขวาง โดยมีแหล่งพลังงานธรรมชาติ คือ ดวงอาทิตย์เป็นแหล่งกำเนิดพลังงาน ระบบนี้จะรับและบันทึกข้อมูลได้ในเฉพาะเวลากลางวัน ไม่สามารถรับข้อมูลได้ในช่วงเวลาที่มีเมฆ หมอก ฝน

- ระบบบันทึกที่มีแหล่งพลังงานที่สร้างขึ้นและส่งไปยังวัตถุเป้าหมาย (Active remote sensing) เป็นระบบที่แหล่งพลังงานเกิดจากการสร้างขึ้นในตัวของเครื่องมือสำรวจ เช่น ช่วงคลื่นในคลื่นวิทยุที่สร้างระบบเรดาร์ แล้วส่งพลังงานไปยังสู่เป้าหมาย

กระบวนการของพลังงานที่เกิดขึ้นกับวัตถุ ซึ่งเกี่ยวข้องกับการสำรวจระยะไกล ประกอบด้วย 3 กระบวนการ คือ การดูดซับพลังงาน (Absorption) การสะท้อนพลังงาน (Reflection) การส่งผ่านพลังงาน (Transmission) พลังงานที่ตกกระทบลงมาบังวัตถุนั้น สัดส่วนของการดูดซึม การส่งผ่าน การสะท้อนพลังงานจะแตกต่างกันตามชนิดของวัตถุ ทำให้สามารถแยกความแตกต่างของวัตถุได้ และวัตถุเดียวกันสัดส่วนของ การดูดซับพลังงาน การสะท้อนพลังงาน และการส่งผ่าน พลังงานจะแตกต่างกันตามความยาวช่วงคลื่นที่กระทบ ระบบบันทึกพลังงานส่วนใหญ่จะบันทึกอยู่ในช่วงของพลังงานสะท้อน (Reflection)

กระบวนการทำงานของการสำรวจระยะไกล

หลักในการสำรวจข้อมูลจากการระยะไกล มีวิธีการและขั้นตอนประกอบด้วยกระบวนการ 2 กระบวนการ ดังต่อไปนี้คือ

1. การได้รับข้อมูล (Data Acquisition) ในกระบวนการสำรวจระยะไกลเป็นขั้นตอนการบันทึกข้อมูล โดยเริ่มจากดาวเทียม (Satellite) หรือยานสำรวจ (Platforms) ทำการบันทึกข้อมูล และส่งข้อมูลมาสู่สถานีรับภาคพื้นดิน (Receiving Station) ผ่านกระบวนการผลิตข้อมูลในรูปแบบของข้อมูลเชิงอนุมาน (Analog Data) และข้อมูลเชิงตัวเลข (Digital Data)
2. การวิเคราะห์ข้อมูล (Data Analysis) จากความที่มีวิธีการวิเคราะห์อยู่ 2 วิธี คือ
 - 2.1 การวิเคราะห์ด้วยสายตา (Visual Analysis) ให้ผลข้อมูลออกมาในเชิงคุณภาพ (Quality) ไม่สามารถวัดเป็นค่าตัวเลขได้แน่นอน ผลการตีความขึ้นกับผู้พิจารณา
 - 2.2 การวิเคราะห์ด้วยคอมพิวเตอร์ (Digital Analysis) ให้ผลข้อมูลในเชิงปริมาณ (Quantity) ที่สามารถแสดงผลการวิเคราะห์ออกมาเป็นค่าตัวเลขได้

ระบบสารสนเทศภูมิศาสตร์ (Geographic Information System: GIS)

เป็นระบบสารสนเทศข้อมูลเชิงพื้นที่หรือข้อมูลที่มีพิกัดตำแหน่ง ซึ่งเป็นการผสมผสานการทำงานระหว่างกระบวนการวิเคราะห์ ร่วมกับระบบฐานข้อมูลที่มีการอ้างอิงเชิงพิกัด โดยนำเทคโนโลยีต่างๆ มาดำเนินการในขั้นตอน เพื่อให้ได้ผลลัพธ์ที่ดีในการแสดงผล เทคโนโลยีที่เกี่ยวข้องกับระบบสารสนเทศภูมิศาสตร์

- วิทยาศาสตร์คอมพิวเตอร์ (Computer Science) : Hardware, Software,
- การสำรวจ และการทำแผนที่ (Survey and Mapping)
- ระบบการจัดการฐานข้อมูล (Database Management System : DBMS)
- การสำรวจระยะไกล (Remote Sensing : RS)
- การสำรวจพิกัดเชิงภูมิศาสตร์ (Global Positioning System : GPS)

วิทยาศาสตร์คอมพิวเตอร์ (Computer Science) ที่เกี่ยวข้องกับระบบสารสนเทศภูมิศาสตร์ ได้แก่ อุปกรณ์และวิธีการหรือโปรแกรมในการนำเข้าข้อมูล ระบบการบันทึกหรือจัดเก็บสำรองข้อมูล ตลอดจนการแสดงผลหรือการส่งออกข้อมูล GIS ซึ่งผลความก้าวหน้าทางด้านชาร์ดแวร์ และซอฟต์แวร์ ทำให้เกิดผลโดยตรงต่อการใช้และการพัฒนาระบบสารสนเทศภูมิศาสตร์ นอกจากนี้ได้ความรู้ทางด้านการจัดการฐานข้อมูล (Database Management) เกี่ยวข้องกับการออกแบบฐานข้อมูล ให้เป็นระบบมากขึ้น

การสำรวจและการทำแผนที่ (Survey and Mapping) เป็นศาสตร์ในการทำแผนที่โดยการสำรวจภาคสนาม โดยอาศัยความรู้เชิงวิศวกรรมในการใช้เครื่องมือในการสำรวจ เช่น กล้องวัดมุม ในการจัดทำวงรอบของพื้นที่ศึกษา กล้องวัดระดับในการจัดทำระดับความสูงในพื้นที่ศึกษา และการคำนวณ โครงร่างอิงพิกัดภูมิศาสตร์ การถ่ายค่าพิกัดหมุดหลักฐานอ้างอิงไปยังจุดสำรวจต่างๆ และวัสดุสัญลักษณ์ เส้น และค่าอธิบายชื่อเฉพาะนั้น ดังนั้นวิชาการสำรวจและการทำแผนที่จึงมีผลสำคัญต่อการพัฒนาการผลิตแผนที่ GIS อุ่นมาก

ระบบการจัดการฐานข้อมูล (Database Management System) เป็นสาขาความรู้ทางด้านหนึ่งของคอมพิวเตอร์ แต่เป็นการศึกษาถึงโครงสร้างและการจัดเก็บข้อมูลในฐานข้อมูลในรูปแบบต่างๆ ทำให้การจัดนำเข้าข้อมูลและควบคุมการกระทำกับข้อมูลเป็นไปได้อย่างเป็นระบบ ความสัมพันธ์ในฐานข้อมูลเชิงสัมพันธ์ รวมถึงการจัดเก็บข้อมูลในฐานข้อมูลในสื่อ (media) ต่างๆ ซึ่งทำให้การจัดเก็บข้อมูลขนาดใหญ่เสียค่าใช้จ่ายน้อยลง การบันทึกและจัดการข้อมูล GIS เป็นอย่างสมบูรณ์มากขึ้น

การสำรวจพิกัดเชิงภูมิศาสตร์ (Global Positioning System) เป็นระบบการคืนหาตำแหน่ง และนำทางด้วยดาวเทียม โดยการใช้คลื่นความถี่สูงและความเร็วคลื่นสั่น ทำให้มีความเที่ยงตรงสูง และมีดาวเทียม GPS ที่โครงการอยู่รอบโลก ทำให้สามารถให้ข้อมูลเกี่ยวกับตำแหน่งพิกัดภูมิศาสตร์บนพื้นโลกได้ตลอด 24 ชั่วโมง สามารถใช้บอกระดับน้ำโดยอัตโนมัติ ในระดับความถูกต้อง 10-20 เมตร เป็นระบบที่ต้องอาศัยสัญญาณดาวเทียม GPS ในการทราบถึงค่าพิกัดบนพื้นผิวโลกอย่างถูกต้อง สามารถนำมาราบสู่ระบบ GIS ได้โดยตรง หรืออาจนำระบบ GPS เข้ามาประยุกต์ใช้กับการสำรวจและการทำแผนที่ หรือการสำรวจระยะไกล ในการตรวจหมุดหรือตรึงพิกัดแผนที่ ภาคภูมิทางอากาศหรือภาพถ่ายดาวเทียมเพื่อนำไปเป็นข้อมูลนำเข้าในระบบGIS

(<http://student.nu.ac.th/geographica/geo/3unit2.html>, 2550)

ดาวเทียม LANDSAT

LANDSAT เป็นชื่อของชุดดาวเทียมสำรวจทรัพยากรธรรมชาติที่ขึ้นสู่วงโคจร และทำการบันทึกข้อมูลพื้นผิวโลก โดยโครงการอยู่ภายใต้การจัดการขององค์การ NOAA ของสหรัฐอเมริกา ต่อมาอยู่ภายใต้การจัดการของ Earth Observing Satellite Company (EOSAT) ในปี 1984 และภายหลังรัฐบาลสหรัฐอเมริกาได้กำหนดให้เป็นพันธกิจของรัฐบาลในการที่จะมีการสำรวจทรัพยากรด้วยดาวเทียมอย่างต่อเนื่อง และได้กำหนดพันธกิจนี้ไว้ในกฎหมายชื่อ The 1992 Land Remote Sensing Policy Act และให้การจัดการดาวเทียม LANDSAT กลับมาอยู่ภายใต้ USGS และ NASA ในโครงการ U.S. Global Change Research Program (ถ่ายโอนคืนจากการจัดการในเชิงพาณิชย์มาอยู่ภายใต้การจัดการของหน่วยงานของรัฐบาลกลาง)

(<http://www.sc.chula.ac.th/courseware/natsci/RSLandsat.htm>, 2550)

ดาวเทียม LANDSAT-1 ถูกส่งขึ้นไปรอบโลก เมื่อวันที่ 23 กรกฎาคม 2515 นับเป็นดาวเทียมสำรวจโลกดวงแรกของโลก และเป็นจุดเริ่มต้นของความก้าวหน้าทางด้านการสำรวจระยะไกล ปัจจุบันได้มีการส่งดาวเทียม LANDSAT ไปแล้วรวมทั้งสิ้น 6 ดวง แต่มีดาวเทียม LANDSAT-5 และ LANDSAT -7 เท่านั้นที่ยังคงปฏิบัติงานอยู่

ตารางที่ 2-1 ศักยภาพของความเที่ยมสำรวจนิทรรพยากร LANDSAT ระบบ TM กำลังขยายเชิงพื้นที่ 30 x 30 เมตร

ช่วงคลื่น (Channel)	ความยาวคลื่น(ไมโครอน) (Wavelength Band)	ศักยภาพใช้ประโยชน์ (Potential Application)
1	0.45 - 0.52 นำเงิน	ใช้ตรวจสอบลักษณะน้ำตามชายฝั่ง ใช้คุณภาพแตกต่าง หรือ ใช้แยกประเภทต้นไม้ชนิดผลัดใบและไม่ผลัดใบออกจาก กัน ใช้คุณภาพแตกต่าง หรือแยกดินจากพืชพันธุ์ต่างๆ มี ความไวต่อการมี หรือไม่มีคลอรอฟิลล์
2	0.52 - 0.60 เขียว	แสดงการสะสมท่อนพังงานสีเขียวจากพืชพันธุ์ที่เจริญเติบโต แล้ว
3	0.63 - 0.69 แดง	ใช้แยกความแตกต่างของการดูดกลืนคลอรอฟิลล์ในพืช พันธุ์ชนิดต่างๆ กัน
4	0.76 - 0.90 อินฟราเรดไกล์	ใช้ตรวจวัดปริมาณมวลชีวะ ใช้คุณภาพแตกต่างของน้ำและ ส่วนไม่ใช่น้ำ
5	1.55 - 1.75 อินฟราเรดคลื่นสั้น	ใช้ตรวจความชื้นในพืชใช้คุณภาพแตกต่างของหินะกับเมฆ
6	10.40 - 12.50 อินฟราเรดความร้อน (รายละเอียด 120 เมตร)	ใช้ตรวจการเพี่ยวน้ำอันเนื่องจากความร้อนในพืชใช้คุณภาพ แตกต่างของความร้อนบริเวณที่ศึกษา และใช้คุณภาพ แตกต่างของความชื้นของดิน
7	2.08 - 2.35 อินฟราเรดกลาง	ใช้ตรวจความร้อนในน้ำ ใช้แยกประเภทแร่ธาตุ และดิน ชนิดต่างๆ

(<http://www.envi.psu.ac.th/gis/rs/landsat/landsat.htm>, 2550)

สัมประสิทธิ์สหสัมพันธ์ (Correlation Coefficient)

สัมประสิทธิ์สหสัมพันธ์เป็นค่าที่ใช้วัดระดับความสัมพันธ์ระหว่างตัวแปร ว่ามากหรือน้อย และประมาณค่าสัมประสิทธิ์สหสัมพันธ์ตัวอย่างด้วยค่า r สัมประสิทธิ์สหสัมพันธ์จะไม่มีหน่วย และมีค่าสูงสุดคือ 1 และค่าต่ำสุดคือ -1

สูตรคำนวณ r คือ

$$r = \frac{\sum_{i=1}^n (X_i - \bar{X})(Y_i - \bar{Y})}{\sqrt{\sum_{i=1}^n (X_i - \bar{X})^2 \sum_{i=1}^n (Y_i - \bar{Y})^2}}$$

โดยที่

- r = สัมประสิทธิ์สหสัมพันธ์
- X_i = ค่าของตัวแปร X ตัวที่ i
- \bar{X} = ค่าเฉลี่ยของตัวแปร X
- Y_i = ค่าของตัวแปร Y ตัวที่ i
- \bar{Y} = จำนวนข้อมูล

ความหมายของค่า r

1. ถ้า r เป็นลบ แสดงว่าตัวแปร X และ Y มีความสัมพันธ์ในทิศทางตรงกันข้าม คือ ถ้าค่าของ X เพิ่มขึ้นค่าของ Y จะลด แต่ถ้าค่าของ X ลดลงค่าของ Y จะเพิ่มขึ้น
2. ถ้า r เป็นบวกแสดงว่าตัวแปร X และ Y มีความสัมพันธ์ในทิศทางเดียวกัน คือ ถ้าค่าของ X เพิ่มขึ้นค่าของ Y เพิ่มขึ้นตาม แต่ถ้าค่าของ X ลดลงค่าของ Y จะลดลงตาม
3. ถ้า r เข้าใกล้ 1 หมายถึงตัวแปร X และ Y สัมพันธ์กันในทิศทางเดียวกันและมีความสัมพันธ์กันมาก
4. ถ้า r เข้าใกล้ -1 หมายถึงตัวแปร X และ Y มีความสัมพันธ์กันในทิศทางตรงกันข้ามและมีความสัมพันธ์กันมาก
5. ถ้า $r = 0$ แสดงว่าตัวแปร X และ Y ไม่มีความสัมพันธ์กัน
6. ถ้า r เข้าใกล้ 0 แสดงว่าตัวแปร X และ Y มีความสัมพันธ์กันน้อย

การวิเคราะห์ความถดถอย (Regression Analysis)

ประมาณค่าหรือพยากรณ์ค่าของตัวแปรหนึ่ง (ตัวแปรตาม) จากตัวแปรอื่นที่ทราบค่า (ตัวแปรอิสระ) ซึ่งตัวแปรอิสระจะต้องมีความสัมพันธ์กับตัวแปรตามที่จะพยากรณ์ และต้องทราบค่าของตัวแปรอิสระที่จะนำเข้ามาใช้ในการประมาณหรือพยากรณ์ค่าตัวแปรตามนั้นด้วย

การวิเคราะห์ความถดถอยเส้น (Linear Regression Analysis)

เป็นการศึกษาความสัมพันธ์ระหว่างตัวแปร 2 ตัวแปร ที่มีความสัมพันธ์กันในแบบเส้นตรง โดยมีตัวแบบการวิเคราะห์การถดถอยเส้น ดังนี้

$$Y = a + b_1 X_1 + b_2 X_2 + \dots + b_k X_k$$

เมื่อ

Y = ตัวแปรตาม

X_i = ตัวแปรอิสระ

a = ส่วนตัดแกน Y (ค่าของ Y เมื่อ X เป็นศูนย์)

b_i = ความชันของเส้นตรง (เป็นค่าที่แสดงถึงอัตราการเปลี่ยนแปลงของ Y เมื่อ X เปลี่ยนไป 1 หน่วยซึ่งเป็นค่าสัมประสิทธิ์ความถดถอย)

k = จำนวนตัวแปรอิสระ

สัมประสิทธิ์การตัดสินใจ (Coefficient of Determination: R^2)

สัมประสิทธิ์การตัดสินใจ (R^2) หมายถึงสัดส่วนที่ตัวแปรอิสระ (X) อธิบายถึงการเปลี่ยนแปลงของตัวแปรตาม (Y) ถ้า R^2 มีค่ามากแสดงว่าตัวแปรตาม (Y) และตัวแปรอิสระ (X) มีความสัมพันธ์กันมากหรือตัวแปรอิสระ (X) สามารถอธิบายการเปลี่ยนแปลงของค่าตัวแปรตาม (Y) ได้มากโดย

$$R^2 = \frac{\text{ความแปรปรวนของ } Y \text{ ที่เกิดจาก } X}{\text{ความแปรปรวนของ } Y \text{ ทั้งหมด}}$$

$$= \frac{\left[\sum_{i=1}^n (X_i - \bar{X})(Y_i - \bar{Y}) \right]^2}{\sum_{i=1}^n (X_i - \bar{X})^2 \sum_{i=1}^n (Y_i - \bar{Y})^2}$$

โดยที่

- R^2 = สัมประสิทธิ์การตัดสินใจ
- X_i = ค่าของตัวแปรอิสระที่ i
- \bar{X} = ค่าเฉลี่ยของตัวแปรอิสระ
- Y_i = ค่าของตัวแปรตามที่ i
- \bar{Y} = ค่าเฉลี่ยของตัวแปรตาม
- n = จำนวนข้อมูล

R^2 จะไม่มีหน่วย เมื่อ R^2 เข้าใกล้ 1 แสดงว่าเปอร์เซ็นต์ที่ตัวแปรอิสระ (X) มีอิทธิพลที่จะอธิบายการเปลี่ยนแปลงมีค่าตัวแปรตาม (Y) มาก นั่นก็คือตัวแปรอิสระ (X) และตัวแปรตาม (Y) มีความสัมพันธ์กันมาก แต่ถ้า R^2 เข้าใกล้ 0 แสดงว่าเปอร์เซ็นต์ที่ตัวแปรอิสระ (X) มีอิทธิพลต่อการเปลี่ยนแปลงตัวแปรตาม (Y) มีค่าน้อย

งานวิจัยที่เกี่ยวข้อง

Nairn et al. (1986) ได้พัฒนาตัวแบบเชิงตัวเลขเพื่อใช้จำลองกระบวนการที่เกิดกับชายฝั่งภายใต้ความสัมพันธ์ 2 กระบวนการ คือ

1. การไม่สนใจความเร็วคลื่นได้น้ำ

2. ความรุนแรงของคลื่นหัวแทรก และความปั่นป่วนใต้พื้นน้ำ

จากการสังเกตพบว่าคลื่นหัวแทรกได้มีอิทธิพลมากขึ้นในปัจจุบัน ซึ่งสอดคล้องกับความรุนแรงที่เพิ่มขึ้นบริเวณชายฝั่ง แต่ผลลัพธ์ของตัวแบบภายใต้การไม่สนใจความเร็วคลื่นได้น้ำยังคงไม่สอดคล้องกับการสังเกต ซึ่งตัวแบบนี้เป็นส่วนหนึ่งของตัวแบบคอสมอส (COSMOS) (Nairn and Southgate, 1993) โดยตัวแบบคอสมอส (COSMOS) ได้อธิบายถึงโครงสร้างชายฝั่ง 2 มิติ (แต่ได้รวมกระบวนการเคลื่อนที่ตามแนวชายฝั่งด้วย) ดังนั้นตัวแบบนี้จึงสามารถแสดงโครงสร้าง 3 มิติได้ ความแทรกค่า่งของน้ำขึ้น-น้ำลงในผิวน้ำที่ยกตัวสูงขึ้นเป็นการแสดงผลกระบวนการกระแสน้ำขึ้น-น้ำลงกับการเคลื่อนที่ของตะกอน และตัวแบบคอสมอส (COSMOS) ยังสามารถพยากรณ์ช่วงเวลาการเกิดพายุแต่ไม่แสดงถึงสิ่งก่อสร้างบนชายหาดเวลาลมสงบ

Sunamura (1992) ได้สร้างตัวแบบเรขาคณิตของชายฝั่งยกตัว ตัวแบบนี้จะเข้าอยู่กับความสูงคลื่น ความยาวคลื่น ความลึกของน้ำที่เกิดคลื่นหัวแทรก ความลึกสูงสุดที่คลื่นสามารถกัดเซาะหิน (ฐานคลื่น) ความกว้างชายฝั่งยกตัวด้วยความลึกและค่าคงที่ของความสูงคลื่นที่น้อยที่สุด โดยสมมุติให้ความสูงของคลื่นหัวแทรก และความลึกของคลื่นหัวแทรกไม่ขึ้นกับเวลา ขณะที่ผลกระทบของน้ำขึ้น-น้ำลง ตะกอนชายหาด และการเคลื่อนที่ของตะกอนตามแนวชายฝั่งไม่ได้นำมารวมไว้ในตัวแบบนี้

Bray and Hooke (1997) ได้พิจารณาวิธีการที่อาจนำไปใช้ในการพยากรณ์การหาดหัวของตะกอนพานิช ซึ่งเป็นผลมาจากการเพิ่มขึ้นของระดับน้ำทะเล รวมไปถึงการวิเคราะห์แนวโน้มในอดีต ซึ่งประกอบด้วย ตัวแบบบรันน์ (Bruun model) การคำนวณงบสมดุลย์ตะกอน (sediment budget method) และตัวแบบชายฝั่งยกตัวเชิงเรขาคณิต (shore platform geometrical model) ซึ่งศึกษาโดย ชูนนูรุ (1992) บรรยาย และสุกค์ ได้ศึกษาพา配คพื้นที่ต่อกดแนวชายฝั่งทางใต้ของอังกฤษและเกราท์บริตัน แลตนรันที่ได้ดัดแปลงกฎของบรันน์มาใช้ให้เหมาะสมกับการพยากรณ์อิทธิพลการเปลี่ยนแปลงอัตราการขึ้น-ลงของน้ำทะเลและอัตราการลดลงของตะกอนพานิช ซึ่งก่อให้เกิดการกัดเซาะเหตุผลสำหรับการดัดแปลงกฎของบรันน์ เป็นความต้องการเพื่อกำหนดความลึก โดยการดัดแปลงกฎของบรันน์ เป็นการสมมุติความสมดุลของตะกอนพานิช และสมมุติการเปลี่ยนแปลงของตะกอนพานิชจากการเพิ่มขึ้นของระดับน้ำทะเล บรรยาย และสุกค์ ได้พิจารณาตัวแบบเชิงเรขาคณิต แต่ไม่พนาระบวนการทางฟิสิกส์ที่น่าเชื่อถือได้

Maged m.m. and s.b. Mansor (1998) ทำการศึกษาตัวแบบการกัดเซาะชายฝั่งโดยการใช้ข้อมูลการสำรวจระยะไกล ซึ่งสามารถกัดเซาะชายฝั่งเกิดจากพลังงานคลื่นที่ส่งเข้าไปในบริเวณนั้น พลังงานคลื่นนี้สามารถทับถมตะกอนหรือกัดเซาะลดดอนชายฝั่ง หนึ่งในพื้นที่ที่รายงานปัญหาอย่างชัดเจน คือ ชายฝั่งคุล่า ทาเด่นกานู การศึกษานี้มุ่งหมายเพื่อพัฒนาระบบการพยากรณ์การกัดเซาะ โดยตัวแบบเชิงคณิตศาสตร์ (Mathematical model) ถูกนำมาใช้เพื่อตรวจสอบและพยากรณ์การกัดเซาะ ตัวแบบนี้ใช้ประโยชน์จากข้อมูลหลายประเภท ประกอบด้วยข้อมูลการสำรวจระยะไกล การสำรวจทางเรือ และข้อมูลจริงจากภาคสนาม ในโครงการนี้ภาพถ่ายทางอากาศ และภาพถ่ายจากแอร์ซ่า/ทอปป่า (AIRSAR/TOPSAR) ถูกนำมาใช้ประโยชน์ในการพยากรณ์การกัดเซาะชายฝั่ง

ผลลัพธ์แสดงให้เห็นชายฝั่งคุล่า ทาเด่นกานู ไม่มีกำบังตะกอนและมีการกัดเซาะในหลายแห่ง ตัวแบบของฟังก์ชันการแจกแจงความน่าจะเป็น (Probability distribution functional model) ถูกนำมาปรับให้เหมาะสมในการพยากรณ์การเปลี่ยนแปลงชายฝั่ง โดยใช้ประโยชน์จากข้อมูลทางเรือจากปี 1971-1983 โดยรวบรวมจากข้อมูลทอปป่า (Topsar) กับการสำรวจทางเรือ การทับถมตะกอนและการกัดเซาะในชายฝั่งคุล่า ทาเด่นกานู สามารถนำพยากรณ์ ด้วยวิธีการทางสถิติแสดงให้เห็นการเปลี่ยนแปลงชายฝั่งเป็นไปตามสมดุลธรรมชาติ การศึกษานี้แสดงให้เห็นการกัดเซาะชายฝั่งที่เกิดขึ้นในช่วงฤดูกาลรวมสุมตะวันออก-เฉียงเหนือ และการสะสมตะกอนเกิดขึ้นภายในช่วงฤดูร้อนตะวันตกเฉียงใต้

Trenhaile (2000) ได้อธิบายถึงตัวแบบของการพัฒนาชายฝั่งยกตัวในหินแข็ง (hard rock) ตัวแบบนี้แสดงการกัดเซาะของคลื่นกับผลกระทบที่เกิดขึ้นมากมาย จุดเริ่มต้นเป็นการเข้าสู่ความสัมพันธ์ระหว่างแรงที่กระทำและการกัดเซาะที่ต่างกัน ซึ่งไม่มีการกัดเซาะเกิดขึ้น ถ้ามีแรง สำหรับตัวแบบ คือ การรวมรวมผลกระทบของคลื่น ทราบไอล์ จำแนกว่าการกัดเซาะที่มากที่สุดเกิดขึ้นใกล้กับบริเวณน้ำสูง และบริเวณน้ำตื้นที่ของวัฏจักรน้ำขึ้น-ลง ซึ่งเป็นการนำไปสู่การให้ความสนใจกับพลังงานคลื่นที่มีผลมากในเวลาขึ้น-ลง ความแข็งแรงของวัสดุแสดงในรูปปัจจัย M ซึ่งถูกนำมาใช้ในการแปลงพลังงานคลื่นที่กระทำกับหินของหน้าผาในแนวโน้น และการกัดเซาะชายฝั่ง การป้องกันที่ถูกจัดเตรียมโดยผลกระทบได้ถูกแทนค่าในรูปของการลดการกัดเซาะ ถ้าไม่ชั่นนั้นจะเกิดการกัดเซาะ 80 % ขึ้นไป ตัวแบบนี้แสดงการกัดเซาะของคลื่นที่อยู่ในน้ำที่มีความลึกครึ่งหนึ่งของความยาวคลื่น การกัดเซาะได้น้ำได้ถูกแทนด้วยฟังก์ชันการสลายตัวแบบอีกโพแทนของการกัดเซาะที่ระดับน้ำ

Micha Klein and Dov Zviely (2001) ได้ทำการศึกษาผลกระทบสิ่งแวดล้อมที่เกิดจากการพัฒนาท่าเรือที่ติดกับชายหาดบริเวณท่าเรือเมืองลิยา ประเทศอิสราเอล โดยมีป้าหมายในการศึกษา

ครั้งนี้เป็นการศึกษาการเปลี่ยนแปลงชายฝั่งทางเหนือและทางใต้ของท่าเรือเมอร์ลิบาร์โดยใช้เทคนิคการสำรวจระยะไกลและเบรี่ยนเทียนการเปลี่ยนแปลงที่เกิดขึ้นร่วมกับการพยากรณ์โดยการเปลี่ยนแปลงโดยใช้ตัวแบบที่สร้างขึ้นโดยสถาบันวิจัยวิศวกรรมชายฝั่งและทะเล (Coastal and Marine Engineering Research Institute, Technion, Israel Institute of Technology, Haifa, Israel) ผลลัพธ์ที่ได้จากตัวแบบในช่วงแรกได้พยากรณ์การกัดเซาะชายฝั่งทางเหนือของท่าเรือ วิธีการแก้ไขปัญหานี้คือ การสร้างกำแพงกันคลื่น รวมกับการวางแผนตามความต้องการและกำหนดขอบเขตพื้นที่ที่จะศึกษา เมื่อเพิ่มกำแพงกันคลื่น ตัวแบบจะสามารถพยากรณ์การสะสมดิน และพยากรณ์ระดับการกัดเซาะ ซึ่งจะเห็นได้ชัดเจนจากหลักฐานภาคสนามนี้ว่าผลลัพธ์ที่ได้นี้เป็นเพียงการแสดงให้เห็นพื้นที่การกัดเซาะทางทิศเหนือแต่ตัวแบบนี้ไม่สามารถพยากรณ์การกัดเซาะ ที่เกิดขึ้นแล้ว 750 เมตร ทางเหนือของท่าเรือ และไม่สนใจการเปลี่ยนแปลงพื้นที่ทางใต้ของท่าเรือ

O.S. Awokola (2002) ได้ทำการศึกษาการประมาณค่าของ การกัดเซาะสำหรับชายฝั่งหาดทรายรากของออกบูร อิลารู โดยใช้การคำนวณสมการการขับเคลื่อนการระบายน้ำ การคำนวณการระบายน้ำประกอบด้วยข้อจำกัด การใช้กำลังน้ำและข้อมูลอุทกศาสตร์ แล้วนำมาสร้างสมการการกัดเซาะ $E = 0.025 (1.022Q) 15/8L3/8 So3/2 (\text{Kg}/\text{m}^2/\text{hr})$ ซึ่งถูกมาใช้ประมาณอัตราการกัดเซาะ พิงก์ชันทั้ง 3 พิงก์ชันข้างต้นมีความสัมพันธ์กันมาก ซึ่งพิงก์ชันเหล่านั้นคือ พิงก์ชันของการขับเคลื่อนการระบายน้ำ $= f(Q)$ และพิงก์ชันของการกัดเซาะ $= f(E)$ ผลลัพธ์ที่ได้จากตัวแบบการวิเคราะห์ผลโดยเชิงเส้นอย่างง่าย คือ $Q = 28.63 + 17.38E. = 19.47 + 3.19Q$ และ $= 120.24 + 22.45E$ และมีค่าสัมประสิทธิ์สหสัมพันธ์ $r = 0.86, 0.89$ และ 0.93 และสัมประสิทธิ์การตัดสินใจ $r^2 = 74\%, 79\%, 86\%$ สัมประสิทธิ์สหสัมพันธ์ (r) และสัมประสิทธิ์การตัดสินใจ (r^2) มีค่ามาก เป็นเหตุผลที่เพียงพอในการตัดสินใจสรุปได้ว่าสมการที่ได้สามารถนำมาใช้พยากรณ์ขนาดของการกัดเซาะหรือประมาณค่าและสามารถพยากรณ์ความรุนแรงในอนาคตจากปัจจัยที่เกี่ยวข้องกับกำลังน้ำ ในพื้นที่นั้น ความ-สัมพันธ์ที่ได้มาจากการข้อจำกัดของปัจจัยที่เกี่ยวข้องกับกำลังน้ำ สามารถนำมาใช้ประมาณค่าการกัดเซาะสำหรับชายฝั่งที่เกิดเหตุ

GENZ A.S. et al. (2003) ได้ทำการศึกษาการพยากรณ์ความเสี่ยงประจำปีของอัตราการกัดเซาะชายหาด มูอิ ชาวาย ซึ่งการกัดเซาะชายฝั่งมีความสำคัญโดยตรงกับเศรษฐกิจการท่องเที่ยวของชาวาย การท่องเที่ยวชาวายส่วนใหญ่ขึ้นอยู่กับหาดทรายที่สวยงาม ภายในศตวรรษที่ผ่านมา พบ 24 % ของหาดทรายในอิสราเอล และ 26 % ของหาดทรายในมูอิ แคนบล หรือมีการสูญเสียอย่างสมบูรณ์ ซึ่งเป็นภัยคุกคามท่องเที่ยว และการพัฒนาสิ่งก่อสร้าง จึงจำเป็นในการหาวิธีทางสถิติที่จะวิเคราะห์อัตราการกัดเซาะ ในแต่ละปีของชาวายอย่างแม่นยำ เช่น การวิเคราะห์การลดด้อยเชิงเส้นตรง โดยข้อมูลการกัดเซาะ ได้มาจากภาพถ่ายทางอากาศโดยฟิเซอร์ และคณะ

การศึกษาครั้งนี้ได้กำหนดความถูกต้องในการพยากรณ์อัตราการกัดเชaze โดยใช้

1) ข้อมูลที่ถูกตัดให้สั้นลง เพื่อใช้ในการพยากรณ์ และข้อมูลชายฝั่งยุบตัว

2) บริบทเที่ยบอัตราการกัดเชaze กับข้อมูลที่ผิดปกติ ซึ่งวิเคราะห์โดยใช้ค่ามัธยฐานกำลังสอง

ต่ำสุด และข้อมูลผิดปกติ (เช่น พาบุ) ในการศึกษาครั้งนี้ได้ใช้วิธีการวิเคราะห์การลดด้อยแบบถ่วงน้ำหนัก (Weight least square : WLS) โดยใช้ข้อมูลจากชายหาดต่างๆ ในญี่ปุ่น (เช่น ช่วงชายหาด, ชายหาดที่มีแหลมยื่น ชายหาดที่หน้าดินริมชายฝั่งแคบ)

อภิชาต เปลี่ยนเจริญ (2547) ทำการศึกษาถึงการกัดเชaze ชายฝั่งอ่าวเกอเบ้านางจังหวัดระยอง ที่เกิดจากความสูงคลื่น, ความเร็วลม, ระดับน้ำปานกลาง, ปริมาณน้ำฝน, อุณหภูมิ และความชื้นในอากาศ โดยได้นำระบบสารสนเทศทางภูมิศาสตร์มาประยุกต์ใช้ร่วมกับการวิเคราะห์การลดด้อยเชิงเส้นตรงเพื่อหาสมการที่ใช้ในการพยากรณ์การกัดเชaze ชายฝั่ง

ผลจากการศึกษาพบว่า ความชื้นในอากาศมีความสัมพันธ์ต่อการกัดเชaze ชายฝั่งประมาณ 82 % ในทิศทางตรงกันข้าม, ความสูงคลื่นมีความสัมพันธ์ต่อการกัดเชaze ชายฝั่งประมาณ 68.4 % ในทิศทางเดียวกัน, ปริมาณน้ำฝนมีความสัมพันธ์ต่อการกัดเชaze ชายฝั่งประมาณ 65.3 % ในทิศทางตรงกันข้าม, ความเร็วลมมีความสัมพันธ์ต่อการกัดเชaze ชายฝั่งประมาณ 64.2 % ในทิศทางเดียวกัน, น้ำขึ้นน้ำลงมีความสัมพันธ์ต่อการกัดเชaze ชายฝั่งประมาณ 40.4 % ในทิศทางตรงกันข้าม ซึ่งจากการวิเคราะห์สมการการลดด้อยเชิงเส้นตรงจะได้สมการพยากรณ์กัดเชaze ชายฝั่งทั้งหมด 20 รูปแบบ เพื่อใช้ในการพยากรณ์การกัดเชaze ชายฝั่งอ่าวเกอเบ้านางจังหวัดระยอง

ปัญญาพร พาสุก (2549) ศึกษาการเปลี่ยนแปลงแนวชายฝั่งบริเวณแหลมสตีจึงหาดเจ้าหลาว จังหวัดจันทบุรี โดยใช้ภาพถ่ายดาวเทียม LANDSAT ในระหว่างปี 2534 – 2549 ร่วมกับเทคนิคทางระบบสารสนเทศภูมิศาสตร์ในการติดตามชายฝั่งและการวิเคราะห์อัตราการเปลี่ยนแปลงของพื้นที่แนวชายฝั่งแหลมสตีจึงหาดเจ้าหลาว พบว่าชายฝั่งแหลมสตีจึงหาดเจ้าหลาวเป็นพื้นที่ชายฝั่งคงสภาพทั้งหมด ส่วนบริเวณบ้านคุ้งวิมานประมาณ 0.42 กิโลเมตร ซึ่งคิดเป็น 20.39 % ของพื้นที่ทั้งหมด นอกจากนั้นบ้านเป็นชายฝั่งคงสภาพ การสำรวจความลาดชันชายหาด ตั้งแต่เดือนมีนาคม 2549 ถึงเดือนกุมภาพันธ์ 2550 พบว่ามีการเคลื่อนตัวของมวลทรายในลักษณะสะสมตัวและพัดพาไปมาแตกต่างกัน ไปในแต่ละพื้นที่ โดยส่วนมากการสะสมตัวจะพนมมาในช่วงเดือนมีนาคมถึงกันยายน และเรือยามาจนถึงเดือนมีนาคมอีกครั้ง ซึ่งการเปลี่ยนแปลงดังกล่าวเป็นผลมาจากการอิทธิพลของลมแรง โครงสร้างทางวิศวกรรมบริเวณชายฝั่งและระดับน้ำทะเลที่เพิ่มขึ้น

บทที่ 3

วิธีดำเนินงานวิจัย

พื้นที่ศึกษา

พื้นที่ชายฝั่ง จังหวัดจันทบุรี

อุปกรณ์ที่ใช้ในการศึกษา

1. ข้อมูลที่ใช้ในการศึกษา สามารถจำแนกได้ 2 ประเภท คือ
 - 1.1 ข้อมูลทางอุตุนิยมวิทยา ตั้งแต่ปี 2540 ถึง ปี 2549 คือ
 - 1.1.1 ข้อมูลน้ำขึ้น-น้ำลง
 - 1.1.2 ข้อมูลปริมาณน้ำฝน
 - 1.1.3 ข้อมูลความเร็วลม
 - 1.1.4 ข้อมูลคลื่น
 - 1.1.5 ข้อมูลอุณหภูมิ
 - 1.1.6 ข้อมูลความชื้นในอากาศ
 - 1.2 ข้อมูลสารสนเทศภูมิศาสตร์ ตั้งแต่ปี 2540 ถึง ปี 2549 คือ
 - 1.2.1 ข้อมูลภาพถ่ายดาวเทียม
2. ระบบคอมพิวเตอร์ สามารถจำแนกได้ 2 ประเภท คือ
 - 2.1 ฮาร์ดแวร์ (Hardware) ของคอมพิวเตอร์ เพื่อใช้ในการวิเคราะห์ การแสดงผล และจัดเก็บข้อมูล
 - 2.2 ซอฟแวร์ (Software) ของคอมพิวเตอร์ โดยใช้โปรแกรมทางด้านระบบสารสนเทศทางภูมิศาสตร์โดยใช้โปรแกรม MultiSpecWin32 และ MapWindow GIS และโปรแกรม Spss 11.5 for Window เพื่อใช้การวิเคราะห์ข้อมูล

ขั้นตอนการดำเนินงาน

1. การเก็บรวบรวมข้อมูล ซึ่งต้องเก็บรวบรวมข้อมูลจากกรมอุตุนิยมวิทยา กรมอุทกศาสตร์ กรมการขนส่งทางน้ำและพาณิชยนาวี และสำนักงานพัฒนา肉体 ใน โภชนาคมและภูมิสารสนเทศ (องค์การมหาชน) เพื่อหาปัจจัยการกัดเซาะชายฝั่ง

2. การศึกษาและตรวจสอบข้อมูล เพื่อให้ข้อมูลที่วิเคราะห์มีความถูกต้องก่อนที่จะนำไปวิเคราะห์

3. การวิเคราะห์ข้อมูลทางอุตุนิยมวิทยาและข้อมูลสารสนเทศภูมิศาสตร์ เป็นการนำข้อมูลทางอุตุนิยมมาหาความสูงคลื่น และนำข้อมูลสารสนเทศภูมิศาสตร์มาหาพื้นที่กัดเซาะชายฝั่ง ซึ่งการวิเคราะห์ข้อมูลแบ่งออกเป็น 2 ส่วน คือ

3.1 การวิเคราะห์ข้อมูลทางอุตุนิยมวิทยา ซึ่งทำการหาข้อมูลความสูงคลื่น โดยใช้ข้อมูลความเร็วลมเข้ามาวิเคราะห์ความสูงคลื่น โดยใช้กราฟการพยากรณ์แบบปฎิบัติ (*Gruben and Dorrestein, 1976*)

3.2 การวิเคราะห์ข้อมูลสารสนเทศภูมิศาสตร์ โดยใช้โปรแกรม MultiSpecWin32 และ MapWindow GIS โดยนำภาพถ่ายดาวเทียมมารวมแบบปรับค่าพิกัดดาวเทียมแต่ละภาพให้ตรงกัน และนำภาพถ่ายดาวเทียมมาหาการกัดเซาะชายฝั่งด้วยโปรแกรม MapWindow GIS

4. การวิเคราะห์การลดดอยเชิงเส้นตรงที่ระดับความชื่อมั่น 95 % เป็นการนำข้อมูลพื้นที่ชายฝั่งที่ถูกกัดเซาะชายฝั่ง ความสูงคลื่น ความเร็วลม น้ำเข็น-น้ำลง ปริมาณน้ำฝน อุณหภูมิ และความชื้นในอากาศ มาศึกษาความสัมพันธ์ และหาสมการในการพยากรณ์การกัดเซาะชายฝั่ง โดยกำหนดให้พื้นที่ชายฝั่งที่ถูกกัดเซาะเป็นตัวแปรตาม (Y) และความสูงคลื่น ความเร็วลม น้ำเข็น-น้ำลง ปริมาณน้ำฝน อุณหภูมิ และความชื้นในอากาศ เป็นตัวแปรอิสระ (X)

5. การเลือกสมการในการพยากรณ์การกัดเซาะชายฝั่ง จะเลือกสมการที่มีค่า R^2 ที่สูงที่สุด

บทที่ 4

ผลการวิจัย

จากการศึกษาข้อมูลทางอุตุนิยมวิทยา ข้อมูลสารสนเทศภูมิศาสตร์ และการวิเคราะห์การดูดด้วยชิงเดัน เพื่อนำใช้ในการหาสมการพยากรณ์การกัดเซาะชายฝั่ง จังหวัดจันทบุรี และศึกษาอัตราการกัดเซาะพื้นที่ชายฝั่ง จังหวัดจันทบุรี สามารถได้ผลการวิจัย แบ่งออกเป็น 3 ส่วน ดังนี้

ข้อมูลทางอุตุนิยมวิทยา

จากการเก็บรวบรวมข้อมูลจากกรมอุตุนิยมวิทยา กรมอุทกศาสตร์ และกรมการขนส่งทางน้ำและพาณิชยนาวี เพื่อนำศึกษาผลกระแทบที่ก่อให้เกิดการกัดเซาะชายฝั่ง ได้แก่ ความเร็วลม ความสูง-คลื่น น้ำเข็น-น้ำลง ปริมาณน้ำฝน อุณหภูมิและความชื้นในอากาศ ดังนี้

ความเร็วลม (Wind) ในการศึกษารังนี้ใช้ความเร็วลมเฉลี่ยต่อปีมาทำการวิเคราะห์โดยไม่นำพิษทางเข้ามาเกี่ยวข้อง ได้ข้อมูลดังนี้

ปี 2541 – 2543 ความเร็วลมเฉลี่ย 1.386 nod

ปี 2543 – 2545 ความเร็วลมเฉลี่ย 1.469 nod

ปี 2545 – 2547 ความเร็วลมเฉลี่ย 1.336 nod

ปี 2547 – 2549 ความเร็วลมเฉลี่ย 1.566 nod

คลื่น (Wave) ในการศึกษารังนี้ใช้ความสูงคลื่นเฉลี่ยต่อปีมาทำการวิเคราะห์ ได้ข้อมูลดังนี้

ปี 2541 – 2543 ความสูงคลื่นเฉลี่ย 1.8 เมตร

ปี 2543 – 2545 ความสูงคลื่นเฉลี่ย 2.0 เมตร

ปี 2545 – 2547 ความสูงคลื่นเฉลี่ย 1.6 เมตร

ปี 2547 – 2549 ความสูงคลื่นเฉลี่ย 2.2 เมตร

น้ำทีน-น้ำลง (Tide) ในการศึกษาครั้งนี้ใช้ระดับน้ำปานกลางเฉลี่ยต่อปีมาทำการวิเคราะห์ได้ข้อมูลดังนี้

ปี 2541 – 2543 ระดับน้ำปานกลางเฉลี่ย 2.455 เมตร

ปี 2543 – 2545 ระดับน้ำปานกลางเฉลี่ย 2.525 เมตร

ปี 2545 – 2547 ระดับน้ำปานกลางเฉลี่ย 2.465 เมตร

ปี 2547 – 2549 ระดับน้ำปานกลางเฉลี่ย 2.580 เมตร

ปริมาณน้ำฝน (Rain) ในการศึกษาครั้งนี้ใช้ปริมาณน้ำฝนเฉลี่ยต่อเดือนได้ข้อมูลดังนี้

ปี 2541 – 2543 ปริมาณน้ำฝนเฉลี่ย 272.508 มิลลิเมตร

ปี 2543 – 2545 ปริมาณน้ำฝนเฉลี่ย 215.733 มิลลิเมตร

ปี 2545 – 2547 ปริมาณน้ำฝนเฉลี่ย 227.570 มิลลิเมตร

ปี 2547 – 2549 ปริมาณน้ำฝนเฉลี่ย 283.400 มิลลิเมตร

อุณหภูมิ (Temperature) ในการศึกษาครั้งนี้จะใช้อุณหภูมิเฉลี่ยต่อเดือนได้ข้อมูลดังนี้

ปี 2541 – 2543 อุณหภูมิเฉลี่ย 27.758 องศาเซลเซียส

ปี 2543 – 2545 อุณหภูมิเฉลี่ย 28.275 องศาเซลเซียส

ปี 2545 – 2547 อุณหภูมิเฉลี่ย 28.308 องศาเซลเซียส

ปี 2547 – 2549 อุณหภูมิเฉลี่ย 28.354 องศาเซลเซียส

ความชื้นในอากาศ (Humidity) ในการศึกษาครั้งนี้ใช้ความชื้นในอากาศเฉลี่ยต่อเดือน ได้

ข้อมูลดังนี้

ปี 2541 – 2543 ความชื้นในอากาศเฉลี่ย 79.375 %

ปี 2543 – 2545 ความชื้นในอากาศเฉลี่ย 79.666 %

ปี 2545 – 2547 ความชื้นในอากาศเฉลี่ย 77.291 %

ปี 2547 – 2549 ความชื้นในอากาศเฉลี่ย 78.583 %

ข้อมูลทางสารสนเทศภูมิศาสตร์

จากการนำภาพถ่ายดาวเทียม LANDSAT มาทำการวิเคราะห์ เพื่อหาพื้นที่ชายฝั่งที่ถูกกัดเซาะได้ข้อมูลดังนี้

ปี 2541 – 2543 พื้นที่ชายฝั่งที่ถูกกัดเซาะ 0.0281859 ตารางกิโลเมตร

ปี 2543 – 2545 พื้นที่ชายฝั่งที่ถูกกัดเซาะ 0.001825705 ตารางกิโลเมตร

ปี 2545 – 2547 พื้นที่ชายฝั่งที่ถูกกัดเซาะ 1.162809654 ตารางกิโลเมตร

ปี 2547 – 2549 พื้นที่ชายฝั่งที่ถูกกัดเซาะ 0.314995572 ตารางกิโลเมตร

จากการศึกษาอัตราการกัดเซาะพื้นที่ชายฝั่ง จังหวัดจันทบุรี ตั้งแต่ ปี 2541 ถึง 2549

สามารถทราบการเปลี่ยนแปลงชายฝั่ง จังหวัดจันทบุรี ดังนี้

ชายฝั่งจังหวัดจันทบุรี คิดเป็นระยะทางประมาณ 108 กิโลเมตร พบร่วมอัตราการกัดเซาะชายฝั่งทะเล

ปี 2541 – 2543 พบร่วมกับการกัดเซาะชายฝั่งทะเลเฉลี่ยเป็น 2.40 % ชายฝั่งคงสภาพคิดเป็น 97.60 % และชายฝั่งที่มีการสะสมตัวคิดเป็น 0 % ของพื้นที่ทั้งหมด

ปี 2543 – 2545 พบร่วมกับการกัดเซาะชายฝั่งทะเลเฉลี่ยเป็น 0.42 % ชายฝั่งคงสภาพคิดเป็น 99.58 % และชายฝั่งที่มีการสะสมตัวคิดเป็น 0 % ของพื้นที่ทั้งหมด

ปี 2545 – 2547 พบร่วมกับการกัดเซาะชายฝั่งทะเลเฉลี่ยเป็น 38.92 % ชายฝั่งคงสภาพคิดเป็น 61.08 % และชายฝั่งที่มีการสะสมตัวคิดเป็น 0 % ของพื้นที่ทั้งหมด

ปี 2547 – 2549 พบร่วมกับการกัดเซาะชายฝั่งทะเลเฉลี่ยเป็น 23.98 % ชายฝั่งคงสภาพคิดเป็น 76.02 % และชายฝั่งที่มีการสะสมตัวคิดเป็น 0 % ของพื้นที่ทั้งหมด

ปี 2541 – 2549 พบร่วมกับการกัดเซาะชายฝั่งทะเลเฉลี่ยเป็น 21.58 % ชายฝั่งคงสภาพคิดเป็น 78.42 % และชายฝั่งที่มีการสะสมตัวคิดเป็น 0 % ของพื้นที่ทั้งหมด

การวิเคราะห์การลดด้อย

ในการวิเคราะห์การลดด้อยเชิงเส้นจะนำเสนอผลการวิเคราะห์ 2 ส่วน คือ สาสัมพันธ์ และ การหาสมการวิเคราะห์การลดด้อย

สาสัมพันธ์ระหว่างข้อมูล

จากการนำข้อมูลมาทำการวิเคราะห์โดยใช้โปรแกรม SPSS 11.5 for Windows เพื่อหาความสัมพันธ์ระหว่าง พื้นที่ชายฝั่งที่ถูกกัดเซาะ ลง ความสูงคลื่น น้ำขึ้น- น้ำลง ปริมาณน้ำฝน อุณหภูมิและความชื้นในอากาศได้ค่าความสัมพันธ์ระหว่างตัวแปรดังตาราง 4-1

ตารางที่ 4-1 ตารางแสดงความสัมพันธ์ของพื้นที่ทางผังที่ถูกกัดขาด ตาม ความถูกระดับ น้ำท่วมน้ำท่วม บริเวณหน้าฝ่ามือ ถูกหักเมื่อเวลา ณ วันที่ 10 กันยายน 2559

	พื้นที่ทางผัง ถูกกัดขาด	ความเรื้อรัง ความเรื้อรัง	ปริมาณ น้ำฝน	ความชื้นใน อากาศ	อุณหภูมิ	น้ำท่วม-น้ำตื้น	ความสูง คลื่น
พื้นที่ทางผังถูกกัดขาด	1	.497	.272	.982	-.444	.276	.611
ความเรื้อรัง							
ความเรื้อรัง	.497		.432	.384	.405	.963	.991
ปริมาณน้ำฝน							
ปริมาณน้ำฝน	.272						
ความชื้นในอากาศ							
ความชื้นในอากาศ	.982	.384	.093	1	-.442	.276	.431
อุณหภูมิ							
อุณหภูมิ	-.444	.405	-.354	-.442	1	.637	.303
น้ำท่วม-น้ำตื้น							
น้ำท่วม-น้ำตื้น	.276	.963	.276	.178	.637	1	.923
ความถูกระดับ							
ความถูกระดับ	.611	.991	.431	.506	.303	.923	1

**การหาสมการวิเคราะห์การคัดถอยที่ใช้ในการพยากรณ์การกัดเซาะชายฝั่ง
ในการหาสมการการวิเคราะห์การคัดถอยเชิงเส้น เพื่อใช้ในการพยากรณ์การกัดเซาะชายฝั่ง
น้ำปักจ้ายหรือตัวแปรอิสระ และตัวแปรตาม ที่ใช้ในการวิเคราะห์ ดังนี้**

ตัวแปรอิสระ ได้แก่

- ความเร็วลม
- ความสูงคลื่น
- น้ำเข้ม- น้ำลง
- ปริมาณน้ำฝน
- อุณหภูมิ
- ความชื้นในอากาศ

ตัวแปรตาม ได้แก่

- พื้นที่ชายฝั่งที่ถูกกัดเซาะ

จากการวิเคราะห์การคัดถอยที่ระดับความเชื่อมั่น 95 % โดยใช้โปรแกรม SPSS 11.5 for Windows จะได้สมการการวิเคราะห์การคัดถอยเชิงเส้นที่ใช้ในการพยากรณ์การกัดเซาะชายฝั่ง จังหวัดจันทบุรี ดังตาราง 4-2

ตารางที่ 4-2 ตารางแสดงตัวแปรอิสระ ค่า R^2 และสมการ regression ในการพยากรณ์การก่อเหตุอาชญากรรม (ที่ระดับความเชื่อมั่น 95%)

รุ่ปแบบที่	ตัวแปรอิสระ (ปัจจัย)	สมการที่ใช้ในการพยากรณ์การก่อเหตุอาชญากรรม	ค่า R^2
1	ความชื้นในอากาศ	$Y = -39874637.18447 + 501690.6014109X_{\text{humidity}}$.964
2	ความสูงคลื่น	$Y = -2818266.538573 + 1284901.225095X_{\text{wave}}$.374
3	ลม	$Y = -4221491.20332 + 2670590.096042X_{\text{wind}}$.247
4	อุณหภูมิ น้ำแข็ง – น้ำเด้ง	$Y = 23935882.26037 - 862954.2282844X_{\text{temperature}}$.197
5	ปริมาณน้ำฝน	$Y = -6852713.043136 + 2583843.92309X_{\text{tide}}$.076
6	ความชื้นในอากาศ, ลม	$Y = -1489289.607541 + 4452.848204555X_{\text{Rain}}$.074
7	ความชื้นในอากาศ, ปริมาณน้ำฝน	$Y = 18950085.06032 + 13278128.11311 X_{\text{wave}} - 30950262.93681X_{\text{wind}}$.998
8	ความชื้นในอากาศ, ความชื้นในอากาศ	$Y = -39940992.02177 + 493043.3748522X_{\text{humidity}} + 2990.930470724X_{\text{Rain}}$.997
9	ความชื้นในอากาศ, ความชื้นในอากาศ	$Y = -37361395.0135 + 322428.991188 X_{\text{wave}} + 461986.6722754X_{\text{humidity}}$.981
10	ลม, ความชื้นในอากาศ	$Y = -38789014.14593 + 755025.8868678X_{\text{wind}} + 474095.4189201X_{\text{humidity}}$.980
11	ความชื้นในอากาศ, น้ำแข็ง – น้ำเด้ง	$Y = -41573999.84609 - 492148.3904821X_{\text{humidity}} + 977800.6887595X_{\text{tide}}$.974
12	น้ำแข็ง – น้ำเด้ง, ความสูงคลื่น	$Y = 35258158.57955 - 18028610.3779X_{\text{tide}} + 5025837.877509X_{\text{wave}}$.928
13	ความชื้นในอากาศ, อุณหภูมิ	$Y = 34276473.45331 + 1725263.123495X_{\text{wave}} - 1346329.370906X_{\text{temperature}}$.809
14	น้ำแข็ง – น้ำเด้ง, ลม	$Y = 39768382.40946 - 25733238.8221X_{\text{tide}} + 16913638.56037X_{\text{wind}}$.803
15	ลม, อุณหภูมิ	$Y = 35644205.78252 + 4349409.847252X_{\text{wind}} - 1500765.260568X_{\text{temperature}}$.744

ตารางที่ 4-2 (ต่อ) ตารางแสดงตัวแปรอิสระ ค่า R^2 และต้นการที่ใช้ในการพยากรณ์การกัดกร่อนทางชายฝั่ง (ที่ระดับความเชื่อมั่น 95%)

รุ่ปแบบที่	ตัวแปรอิสระ (ปัจจัย)	สมการที่ใช้ในการพยากรณ์การกัดกร่อนทางชายฝั่ง	ค่า R^2
16	น้ำขึ้น-น้ำลง, อุณหภูมิ ลม, ปริมาณฝน	$Y = 34715255.6073 + 8781473.459167X_{\text{tide}} - 2026721.875558X_{\text{temperature}}$.722
17	ปริมาณฝน, อุณหภูมิ	$Y = -4274401.375022 + 2506640.738115X_{\text{wind}} + 1156.626582972X_{\text{Rain}}$.251
18	น้ำขึ้น-น้ำลง, ปริมาณฝน	$Y = 20844815.51329 + 2155.811931848X_{\text{Rain}} - 772355.0246018X_{\text{temperature}}$.212
19	น้ำขึ้น-น้ำลง, ปริมาณฝน	$Y = 63351026.31995 + 2037880.387717X_{\text{tide}} + 3469.269599178X_{\text{rain}}$.118
20	น้ำขึ้น-น้ำลง, ความสูงคลื่น, ลม	$Y = 21638490.16468 - 2529235.920155X_{\text{tide}} + 12341091.91377X_{\text{wave}} - 27177739.96193X_{\text{wind}}$	1.000
21	ปริมาณฝน, ความสูงคลื่น, ลม	$Y = 18887434.36827 + 732.7960005695X_{\text{rain}} + 13261436.31144X_{\text{wave}} - 31011870.77406X_{\text{wind}}$	1.000
22	อุณหภูมิ, ความสูงคลื่น, ลม	$Y = 21265497.56981 - 138610.0945219X_{\text{temperature}} + 12495036.74576X_{\text{wave}} - 28812383.1456X_{\text{wind}}$	1.000
23	ความชื้นในอากาศ, ลม, ความสูงคลื่น	$Y = 42463464.15258 - 194513.6133071X_{\text{humidity}} - 43703012.885556X_{\text{wind}} + 18625055.41264X_{\text{wave}}$	1.000
24	ความสูงคลื่น, ปริมาณฝน, น้ำขึ้น-น้ำลง	$Y = 411138993.0737 + 5817349.782715X_{\text{wave}} - 5194.329595012X_{\text{rain}} - 20457397.34928X_{\text{tide}}$	1.000
25	อุณหภูมิ, น้ำขึ้น-น้ำลง, ความสูงคลื่น	$Y = 277839902.10117 + 2304545.20145X_{\text{temperature}} - 44580563.59019X_{\text{tide}} - 9781589.843773X_{\text{wave}}$	1.000
26	ความสูงคลื่น, ความชื้นในอากาศ, น้ำขึ้น-น้ำลง	$Y = -12610610.00888 + 2006380.548241X_{\text{wave}} + 319900.3384661X_{\text{humidity}} - 66888859.5740618X_{\text{tide}}$	1.000
27	ปริมาณฝน, อุณหภูมิ, ความสูงคลื่น	$Y = 52417147.26338 - 9599.326162488X_{\text{rain}} - 1954345.31373X_{\text{temperature}} + 2455517.703676X_{\text{wave}}$	1.000
28	ความสูงคลื่น, ปริมาณฝน, ความชื้นในอากาศ	$Y = -38722572.88035 + 154982.9295101X_{\text{wave}} + 2523.44523277X_{\text{Rain}} + 475310.3374527X_{\text{humidity}}$	1.000
29	อุณหภูมิ, ความสูงคลื่น, ความชื้นในอากาศ	$Y = -19751164.97277 - 406811.4547705X_{\text{temperature}} + 6333856.2850291X_{\text{wave}} \pm 376370.9696306X_{\text{humidity}}$	1.000
30	ลม, ปริมาณฝน, น้ำขึ้น-น้ำลง	$Y = 58527976.89336 + 24234927.81995X_{\text{wind}} - 9826.215947023X_{\text{rain}} - 36444293.19817X_{\text{tide}}$	1.000
31	น้ำขึ้น-น้ำลง, อุณหภูมิ, ลม	$Y = 51539694.62176 - 205287149.6395X_{\text{tide}} + 11111772.27942X_{\text{temperature}} + 103864540.023X_{\text{wind}}$	1.000

ตารางที่ 4-2 (ต่อ) ตารางแสดงตัวแปรอิสระ ค่า R^2 และสมการที่ใช้ในการพยากรณ์การกัดกร่อนของน้ำฝน (ที่ระบุความถี่อยู่ที่ 95%)

รุ่ปแบบที่	ตัวแปรอิสระ (ปัจจัย)	สมการที่ใช้ในการพยากรณ์การกัดกร่อนของน้ำฝน	ค่า R^2
32	ความชื้นในอากาศ, น้ำฝน-น้ำใส, ลม	$Y = -19259729.26849 + 382005.7803863X_{\text{humidity}} - 7496408.782937X_{\text{tide}} + 5276285.604515X_{\text{wind}}$	1.000
33	ลม, อุณหภูมิ, ปริมาณน้ำฝน	$Y = 60036379.51949 + 7047082.295728X_{\text{wind}} - 2398447.262963X_{\text{temperature}} - 11947.1792057X_{\text{rain}}$	1.000
34	ลม, ความชื้นในอากาศ, ปริมาณน้ำฝน	$Y = 139403807.34037 + 3666713.28559270X_{\text{wind}} + 480930.8502168X_{\text{humidity}} + 2544.618821593X_{\text{rain}}$	1.000
35	อุณหภูมิ, ลม, ความชื้นในอากาศ	$Y = -21943077.44131 - 421144.0179086X_{\text{temperature}} + 1539721.126743X_{\text{wind}} + 396484.0692831X_{\text{humidity}}$	1.000
36	น้ำฝน-น้ำใส, ปริมาณน้ำฝน, อุณหภูมิ	$Y = 60654830.35595 + 14942299.37168X_{\text{tide}} - 12816.782240533X_{\text{rain}} - 3381819.79911X_{\text{temperature}}$	1.000
37	น้ำฝน-น้ำใส, ความชื้นในอากาศ, ปริมาณน้ำฝน	$Y = -40908439.63319 + 559933.231728X_{\text{tide}} + 488319.9128537X_{\text{humidity}} + 2734.685183002X_{\text{rain}}$	1.000
38	น้ำฝน-น้ำใส, ความชื้นในอากาศ, อุณหภูมิ	$Y = -23048801.13393 + 3089035.140823X_{\text{tide}} + 402450.11184242X_{\text{humidity}} - 594684.2700929X_{\text{temperature}}$	1.000
39	อุณหภูมิ, ปริมาณน้ำฝน, ความชื้นในอากาศ	$Y = -44862493.46804 + 131660.7622704X_{\text{temperature}} + 3340.133988595X_{\text{Rain}} + 507331.1481582X_{\text{humidity}}$	1.000

สมการการวิเคราะห์การดูดอย่างเส้นที่ใช้ในการพยากรณ์การกัดเซาะชายฝั่ง จังหวัดจันทบุรี ในตารางที่ 4-2 สามารถนำไปใช้ในการพยากรณ์ได้ที่ระดับความเชื่อมั่น 95 % และข้อมูลที่ใช้ในการพยากรณ์จะต้องมีค่าอยู่ในช่วง ดังตารางที่ 4-3

ตารางที่ 4-3 ตารางแสดงค่าสูงสุดและค่าต่ำสุดของตัวแปรอิสระ

ตัวแปรอิสระ	ค่าต่ำสุด	ค่าสูงสุด
ความเร็วลม (เฉลี่ยรายปี)	1.350 นอต	1.658 นอต
ความสูงคลื่น (เฉลี่ยรายปี)	1.6 เมตร	2.4 เมตร
น้ำขึ้น-น้ำลง (เฉลี่ยรายปี)	2.45 เมตร	2.67 เมตร
ปริมาณน้ำฝน (เฉลี่ยรายเดือน)	283.450 มิลลิเมตร	325.875 มิลลิเมตร
อุณหภูมิ (เฉลี่ยรายเดือน)	27.500 องศาเซลเซียส	28.433 องศาเซลเซียส
ความชื้นในอากาศ (เฉลี่ยรายเดือน)	77.00 %	79.75 %

บทที่ 5

อภิปรายและสรุปผล

การศึกษาอัตราการกัดเซาะพื้นที่ชายฝั่ง จังหวัดจันทบุรี ตั้งแต่ปี 2541 ถึงปี 2549

จากการศึกษาอัตราการกัดเซาะชายฝั่ง จังหวัดจันทบุรี ในช่วง ปี 2541 – 2549 พบว่ามีอัตราการกัดเซาะปานกลางที่ระดับ 1 – 5 เมตร/ปี มีพื้นที่ชายฝั่งถูกกัดเซาะ 1.50781685 ตารางกิโลเมตร มีชายฝั่งคงสภาพ 3046.11718 ตารางกิโลเมตร

การหาสมการพยากรณ์การกัดเซาะชายฝั่ง จังหวัดจันทบุรี

จากการวิเคราะห์การลดด้อยเชิงเส้นสามารถแบ่งออกได้เป็น 2 ส่วน คือ สมัยพัฒนา และการหาสมการวิเคราะห์การลดด้อย ดังนี้

สมัยพัฒนา

จากการศึกษาค่าสัมประสิทธิ์สมัยพัฒนาระหว่างพื้นที่ชายฝั่งถูกกัดเซาะ ความเร็วลม ความสูงคลื่น น้ำเขื่อน- น้ำลำ ปริมาณน้ำฝน อุณหภูมิและความชื้นในอากาศ สามารถบ่งบอกความสัมพันธ์ระหว่างตัวแปร ได้ดังนี้

สมัยพัฒนา ระหว่างความชื้นในอากาศและการกัดเซาะชายฝั่งมีค่า .982

หมายถึง ความชื้นในอากาศและการกัดเซาะ มีความสัมพันธ์ 98.2 % ในทิศทางเดียวกัน ความชื้นในอากาศมีมากส่งผลให้การกัดเซาะชายฝั่งเพิ่มขึ้น หรือความชื้นในอากาศมีน้อยส่งผลให้การกัดเซาะชายฝั่งลดลง เนื่องจากลักษณะชายฝั่งจันทบุรี ส่วนใหญ่เป็นหาดทรายหรือหาดทรายปนโคลน ทำให้อุณภูมิคงต่อเนื่องกัน เก็บความชื้นระหว่างอนุภาคตะกอนได้น้อย ซึ่งทำให้อุณภูมิคงต่อเนื่องกันไม่ติด จึงทำให้มีผลต่อการกัดเซาะชายฝั่ง

สมัยพัฒนา ระหว่างความสูงคลื่นและการกัดเซาะชายฝั่งมีค่า .611 หมายถึง ความสูงคลื่นและการกัดเซาะชายฝั่งมีความสัมพันธ์กัน 61.1 % ในทิศทางเดียวกัน ความสูงคลื่นมีมากส่งผลให้การกัดเซาะชายฝั่งเพิ่มขึ้น หรือความสูงคลื่นมีน้อยส่งผลให้การกัดเซาะชายฝั่งลดลง เมื่อคลื่นเคลื่อนเข้าหาฝั่งความเร็วคลื่นจะลดลงตามความลึกน้ำ เมื่อน้ำดีมากๆ ความเร็วที่สั้นคลื่น (crest) จะมากกว่าที่ท้องคลื่น (trough) เนื่องจากความลึกน้ำที่สั้นคลื่นมากกว่าที่ท้องคลื่น สั้นคลื่นจะเคลื่อนที่เร็วกว่าท้องคลื่น จนในที่สุดสั้นคลื่นจะแตกตัวหน้าท้องคลื่น การแตกตัวของคลื่นที่ชายฝั่ง ทำให้ตะกอนแขวนลอยที่มีอยู่ถูกพัดพาไปกับน้ำ ในฤดูกาลที่คลื่นแรงคลื่นจะกัดเซาะ

ชายผู้แสวงนำตะกอนไปทับดินนอกชายฝั่งเกิดเป็นสันทรามใต้น้ำ (ปราโมทย์ โศจิคุกร ศุภิชัย ตั้งใจ ตรง และสมนาตร เนียนนิล, 2546)

สัมประสิทธิ์สหสัมพันธ์ระหว่างความเร็วลมและการกัดเซาะชายฝั่งมีค่า .497 หมายถึง ความเร็วลมและการกัดเซาะชายฝั่งมีความสัมพันธ์กัน 49.7 % ในทิศทางเดียวกัน ความเร็วลมส่งผลให้เกิดการกัดเซาะชายฝั่ง โดยความเร็วลมและความสูงคลื่นมีความสัมพันธ์กัน 99.1 % หมายความว่า ความเร็วลมมีอิทธิพลต่อความสูงคลื่นในทิศทางเดียวกัน เมื่อความเร็วลมเพิ่มความสูงคลื่นก็จะเพิ่มขึ้น และลมสามารถก่อให้เกิดการกัดกร่อน โดยอาศัยการผุพังแบบภายภาพและเคลื่อนที่ไปกับความแห้งแล้ง (ปัญญา จาธุรี, 2545) จึงทำให้ลมมีอิทธิพลต่อการกัดเซาะชายฝั่ง

สัมประสิทธิ์สหสัมพันธ์ระหว่างอุณหภูมิและการกัดเซาะชายฝั่งมีค่า -.444 หมายถึง อุณหภูมิและการกัดเซาะชายฝั่งมีความสัมพันธ์กัน 44.4 % ในทิศทางตรงกันข้าม อุณหภูมิสูงขึ้น ส่งผลให้การกัดเซาะชายฝั่งลดลง หรืออุณหภูมิต่ำลงให้การกัดเซาะชายฝั่งเพิ่มขึ้น อุณหภูมิเป็นปัจจัยที่ทำให้เกิดลม โดยลมจะพัดจากบริเวณที่มีความกดอากาศสูงไปสู่บริเวณที่มีความกดอากาศต่ำ (รังสรรค์ อาภาคพ, 2547) (ลมจะพัดจากบริเวณที่มีอุณหภูมิต่ำไปสู่บริเวณที่มีอุณหภูมิสูงกว่า) ทำให้ลมอาจจะพัดพาตะกอนจากบริเวณที่มีอุณหภูมิค่อนข้างสูงอื่นด้วย จึงอาจก่อให้เกิดการตกลงของตะกอนบริเวณนั้นได้

สัมประสิทธิ์สหสัมพันธ์ระหว่างน้ำขึ้น-น้ำลงและการกัดเซาะชายฝั่งมีค่า .276 หมายถึง น้ำขึ้น-น้ำลงและการกัดเซาะชายฝั่งมีความสัมพันธ์กัน 27.6 % ในทิศทางเดียวกัน ระดับน้ำขึ้น-น้ำลงมีส่งผลให้การกัดเซาะชายฝั่ง การเคลื่อนที่ของน้ำขึ้น-น้ำลง จะเป็นไปทางทิศทางเดียวกับการเคลื่อนที่ของคลื่น โดยความสูงคลื่นจะเพิ่มขึ้นตามระดับน้ำ โดยน้ำขึ้น-น้ำลงจะมีค่าสูงสุดเมื่อเทียบกับคลื่นลื่น (crest) (ปัญญา จาธุรี, 2545) (น้ำขึ้น-น้ำลงและความสูงคลื่นมีความสัมพันธ์กัน 92.3 %) น้ำขึ้น-น้ำลงจะมีอิทธิพลต่อการกัดเซาะชายฝั่ง

สัมประสิทธิ์สหสัมพันธ์ระหว่างปริมาณน้ำฝนและการกัดเซาะชายฝั่งมีค่า .272 หมายถึง ปริมาณน้ำฝนและการกัดเซาะชายฝั่งมีความสัมพันธ์กัน 27.2 % ในทิศทางเดียวกัน ปริมาณน้ำฝนมีส่งผลให้การกัดเซาะชายฝั่ง น้ำก่อให้เกิดการกัดกร่อน โดยแรงอัดกระแทกของน้ำกับผิวดิน และเมื่อน้ำฝนซึมลงสู่ดินก่อให้เกิดปฏิกิริยา กับแร่ธาตุในดินและหินจนทำให้เกิดการผุพังถลายได้ (ปัญญา จาธุรี, 2545)

การหาสมการวิเคราะห์การลดด้อยเชิงเส้น

สมการที่ใช้ในการพยากรณ์การกัดเซาะชายฝั่ง จะเลือกสมการที่มีค่า R^2 สูงที่สุดมาใช้ใน การพยากรณ์การกัดเซาะชายฝั่ง จากผลการวิเคราะห์การลดด้อยเชิงเส้น ที่ระดับความเชื่อมั่น 95 % จะได้สมการที่มีค่า R^2 สูงสุด คือ $R^2 = 1$ จำนวน 20 รูปแบบ โดยมีสมการที่ใช้ในการพยากรณ์การ กัดเซาะชายฝั่ง 20 รูปแบบ ดังนี้

รูปแบบที่ 1 ปัจจัยที่ใช้ น้ำขึ้น – น้ำลง, ความสูงคลื่น, ลม

$$Y = 21638490.16468 - 2529235.920155X_{\text{tide}} + 12341091.91377X_{\text{wave}} - 27177739.96193X_{\text{wind}}$$

รูปแบบที่ 2 ปัจจัยที่ใช้ ปริมาณน้ำฝน, ความสูงคลื่น, ลม

$$Y = 18887434.36827 + 732.7960005695X_{\text{rain}} + 13261436.31144X_{\text{wave}} - 31011870.77406X_{\text{wind}}$$

รูปแบบที่ 3 ปัจจัยที่ใช้ อุณหภูมิ, ความสูงคลื่น, ลม

$$Y = 21265497.56981 - 138610.0945219X_{\text{temperature}} + 12495036.74576X_{\text{wave}} - 28812383.1456X_{\text{wind}}$$

รูปแบบที่ 4 ปัจจัยที่ใช้ ความชื้นในอากาศ, ลม, ความสูงคลื่น

$$Y = 42463464.15258 - 194513.6133071X_{\text{humidity}} - 43703012.88556X_{\text{wind}} + 18625055.41264X_{\text{wave}}$$

รูปแบบที่ 5 ปัจจัยที่ใช้ ความสูงคลื่น, ปริมาณน้ำฝน, น้ำขึ้น- น้ำลง

$$Y = 41138993.0737 + 5817349.782715X_{\text{wave}} - 5194.329595012X_{\text{rain}} - 20457397.34928X_{\text{tide}}$$

รูปแบบที่ 6 ปัจจัยที่ใช้ อุณหภูมิ, น้ำขึ้น- น้ำลง, ความสูงคลื่น

$$Y = 27839902.10117 + 2304545.20145X_{\text{temperature}} - 44580563.59029X_{\text{tide}} + 9781589.843773X_{\text{wave}}$$

รูปแบบที่ 7 ปัจจัยที่ใช้ ความสูงคลื่น, ความชื้นในอากาศ, น้ำขึ้น- น้ำลง

$$Y = -12610610.00888 + 2006380.548241X_{\text{wave}} + 319900.3384661X_{\text{humidity}} - 6688859.5740618X_{\text{tide}}$$

รูปแบบที่ 8 ปัจจัยที่ใช้ ปริมาณน้ำฝน, อุณหภูมิ, ความสูงคลื่น

$$Y = 52417147.26338 - 9599.326162488X_{\text{rain}} - 1954345.31373X_{\text{temperature}} + 2455517.703676X_{\text{wave}}$$

รูปแบบที่ 9 ปัจจัยที่ใช้ ความสูงคลื่น, ปริมาณน้ำฝน, ความชื้นในอากาศ

$$Y = -38722572.88035 + 154982.9295101X_{\text{wave}} + 2523.444523277X_{\text{rain}} + 475310.3374527X_{\text{humidity}}$$

รูปแบบที่ 10 ปัจจัยที่ใช้ อุณหภูมิ, ความสูงคลื่น, ความชื้นในอากาศ

$$Y = -19751164.97277 - 406811.4547705X_{\text{temperature}} + 633856.2850291X_{\text{wave}} + 376370.9696306X_{\text{humidity}}$$

รูปแบบที่ 11 ปัจจัยที่ใช้ ลม, ปริมาณน้ำฝน, น้ำเขิน-น้ำลง

$$Y = 58527976.89336 + 24234927.81995X_{\text{wind}} - 9826.215947023X_{\text{rain}} - 36444293.19817X_{\text{tide}}$$

รูปแบบที่ 12 ปัจจัยที่ใช้ น้ำเขิน-น้ำลง, อุณหภูมิ, ลม

$$Y = 51539694.62176 - 205287149.6395X_{\text{tide}} + 11111772.27942X_{\text{temperature}} + 103864540.023X_{\text{wind}}$$

รูปแบบที่ 13 ปัจจัยที่ใช้ ความชื้นในอากาศ, น้ำเขิน-น้ำลง, ลม

$$Y = -19259729.26849 + 382005.7803863X_{\text{humidity}} - 7496408.782937X_{\text{tide}} + 5276285.604515X_{\text{wind}}$$

รูปแบบที่ 14 ปัจจัยที่ใช้ ลม, อุณหภูมิ, ปริมาณน้ำฝน

$$Y = 60036379.51949 + 7047082.295728X_{\text{wind}} - 2398447.262963X_{\text{temperature}} - 11947.1792057X_{\text{rain}}$$

รูปแบบที่ 15 ปัจจัยที่ใช้ ลม, ความชื้นในอากาศ, ปริมาณน้ำฝน

$$Y = -39403807.34037 + 366713.28559270X_{\text{wind}} + 480930.8502168X_{\text{humidity}} + 2544.618821593X_{\text{rain}}$$

รูปแบบที่ 16 ปัจจัยที่ใช้ อุณหภูมิ, ลม, ความชื้นในอากาศ

$$Y = -21943077.44131 - 421144.0179086X_{\text{temperature}} + 1539721.126743X_{\text{wind}} \\ + 396484.0692831X_{\text{humidity}}$$

รูปแบบที่ 17 ปัจจัยที่ใช้ น้ำเขิน-น้ำลง, ปริมาณน้ำฝน, อุณหภูมิ

$$Y = 60654830.35595 + 14942299.37168X_{\text{tide}} - 12816.78224053X_{\text{rain}} - 3381819.79911X_{\text{temperature}}$$

รูปแบบที่ 18 ปัจจัยที่ใช้ น้ำเขิน-น้ำลง, ความชื้นในอากาศ, ปริมาณน้ำฝน

$$Y = -40908439.63319 + 559933.231728X_{\text{tide}} + 488319.9128537X_{\text{humidity}} + 2734.685383002X_{\text{rain}}$$

รูปแบบที่ 19 ปัจจัยที่ใช้ น้ำฝน-น้ำลง, ความชื้นในอากาศ, อุณหภูมิ

$$Y = -23048801.13393 + 3089035.140823X_{\text{tide}} + 402450.1184242X_{\text{humidity}} - 594684.2700929X_{\text{temperature}}$$

รูปแบบที่ 20 ปัจจัยที่ใช้ อุณหภูมิ, ปริมาณน้ำฝน, ความชื้นในอากาศ

$$Y = -44862493.46804 + 131660.7622704X_{\text{temperature}} + 3340.133988595X_{\text{rain}} \\ + 507331.1481582X_{\text{humidity}}$$

อภิปรายผล

แนวชายฝั่งจังหวัดจันทบุรี มีความหลากหลายทางภูมิศาสตร์สูงมาก พบร่องรอยส่วนใหญ่เป็นโคลน หาดหิน หน้าผา หาดทราย และหาดโคลน โดยที่ชายฝั่งทะเลตอนเหนือเป็นหาดทรายปานโคลน ต่อเนื่องด้วยหาดหินและหน้าผาที่คุ้งวิมาน พบร่องรอยเรียนยาบวิเวณแหลมเสด็จจากนั้นเป็นแนวหาดทรายปานโคลน ส่วนชายฝั่งด้านใต้ในเขตอําเภอบล่มสิงห์ และคลุงต่อเนื่องจังหวัดตราดเป็นหาดโคลน พบร่องรอยฝังจังหวัดจันทบุรีมีอัตราการกัดเซาะ ในช่วง ปี 2541 – 2549 ที่ระดับ 1 – 5 เมตร/ปี

จากการศึกษาสหสัมพันธ์พบว่าความชื้นในอากาศมีอิทธิพลต่อการกัดเซาะชายฝั่งมากที่สุด จากลักษณะชายฝั่งจังหวัดจันทบุรี ส่วนใหญ่เป็นหาดทรายหรือหาดทรายปานโคลน ทำให้อุณภูมิต่ำกอนสามารถเก็บความชื้นได้น้อย ทำให้อุณภูมิคีดเกาะติดกันได้ไม่ดี จึงก่อให้การพังทลายและการกัดเซาะได้ง่าย

สมการการวิเคราะห์การถดถอยเชิงเส้นที่ใช้ในการพยากรณ์การกัดเซาะชายฝั่งจังหวัดจันทบุรี ทั้ง 20 รูปแบบนี้สามารถใช้ได้เมื่อตัวแปรอิสระมีค่าอยู่ในช่วง ดังต่อไปนี้

ตารางที่ 5-1 ตารางแสดงค่าสูงสุดและค่าต่ำสุดของตัวแปรอิสระ

ตัวแปรอิสระ	ค่าต่ำสุด	ค่าสูงสุด
ความเร็วลม (เฉลี่ยรายปี)	1.350 นอต	1.658 นอต
ความสูงคลื่น (เฉลี่ยรายปี)	1.6 เมตร	2.4 เมตร
น้ำขึ้น-น้ำลง (เฉลี่ยรายปี)	2.45 เมตร	2.67 เมตร
ปริมาณน้ำฝน (เฉลี่ยรายเดือน)	283.450 มิลลิเมตร	325.875 มิลลิเมตร
อุณหภูมิ (เฉลี่ยรายเดือน)	27.500 องศาเซลเซียส	28.433 องศาเซลเซียส
ความชื้นในอากาศ (เฉลี่ยรายเดือน)	77.00 %	79.75 %

ข้อเสนอแนะ

1. ในการศึกษาครั้งนี้ใช้ภาพถ่ายดาวเทียม LANDSAT ที่มีกำลังขยายพื้นที่อยู่ที่ 30×30 เมตร จึงอาจจะทำให้เกิดความคลาดเคลื่อนต่อการวิเคราะห์ผล ซึ่งในการศึกษาครั้งต่อไปควรใช้ภาพถ่ายดาวเทียมที่มีความละเอียดมากกว่านี้ เพื่อจะได้ข้อมูลที่มีความถูกต้องมากขึ้น
2. ใน การศึกษาครั้งนี้ได้ใช้ข้อมูลอุตุนิยมวิทยาที่มีอยู่แล้ว ซึ่งเป็นข้อมูลที่ไม่เฉพาะเจาะจง บริเวณชายฝั่ง จึงอาจจะทำให้เกิดความคลาดเคลื่อนในการหาสมการที่ใช้พยากรณ์การกัดเซาะชายฝั่งเฉพาะจุดได้ ใน การศึกษาครั้งต่อไปควรมีข้อมูลอุตุนิยมวิทยาบริเวณชายฝั่ง เพื่อจะทำให้ได้สมการพยากรณ์การกัดเซาะชายฝั่งที่มีความถูกต้องมากขึ้น

บรรณานุกรม

- ปัญญา จาธุศิริ. (2545). ธรรมีวิทยาการภาพ. กรุงเทพฯ: สำนักพิมพ์ บริษัท พลัสเพรส จำกัด.
- ปัญคิยาร พาสุก. (2549). ความคาดชั้นชายหาดและการเปลี่ยนแปลงแนวชายฝั่งบริเวณแหลมสีชัย จังหวัดเจ้าหน้าที่. ปัญหาพิเศษปัญญาวิทยาศาสตรบัณฑิต, คณะเทคโนโลยีทางทะเล, มหาวิทยาลัยบูรพา.
- ปราโมทย์ โศจิกร ศุภิชัย ตั้งใจตรง และสมมาตร เนียมนิล, สาระวิทยาศาสตร์ทางทะเล หน่วยการเรียนรู้ที่ 1: พลิกฟื้นทะเล. (2546). กรุงเทพฯ: สำนักงานคณะกรรมการวิจัย แห่งชาติ.
- รังสรรค์ อากาศพ. (2547). อุตุนิยมวิทยาน้องต้น. กรุงเทพฯ: สำนักพิมพ์แห่งจุฬาลงกรณ์มหาวิทยาลัย.
- อวิชาต เปเลี่ยนเจริญ. (2547). การพยากรณ์การกัดเซาะชายฝั่งอำเภอบ้านกลาง จังหวัดระยอง. ปัญหาพิเศษปัญญาวิทยาศาสตรบัณฑิต, คณะเทคโนโลยีทางทะเล, มหาวิทยาลัยบูรพา.
- อัปสรสุดา ศิริพงศ์. (2540). การกัดเซาะชายฝั่ง. ภาควิชาวิทยาศาสตร์ทางทะเล คณะวิทยาศาสตร์ จุฬาลงกรณ์มหาวิทยาลัย.
- อัปสรสุดา ศิริพงศ์ ศิริชัย ธรรมวนานิช บำรุงศักดิ์ กองสุข และไชยยง บวงทอง. การกัดเซาะชายหาด. ภาควิชาวิทยาศาสตร์ทางทะเล คณะวิทยาศาสตร์ จุฬาลงกรณ์มหาวิทยาลัย.

Awokola, O.S. (2002). *Assessment of gully erosion from coastal plain sands of Ogburu, Ilaro, Ogun State*. วันที่ค้นข้อมูล 8 มีนาคม 2549. เข้าถึงได้จาก <http://trophort.com/013/229/013229202.html>

Bray, M. J., and Hooke, J. M. (1997). *Prediction of soft-cliff retreat with accelerating sea-level rise*. Journal of Coastal Research, Vol. 13 issue 2, p. 453-467

GENZ, A.S., FLETCHER, C.H., DUNN, R.A., CONGER, C.L., and ROONEY, J. (2003). *PREDICTIVE ACCURACY OF ANNUAL EROSION HAZARD RATES ON MAUI, HAWAII*. Geological Society of America Abstracts with Programs, Vol. 35, No. 6, September 2003, p. 285.

Maged, m.m., and Mansor, s.b. (1998). *Coastal Erosion Modeling using Remotely Sensed Data*. วันที่ค้นข้อมูล 11 มีนาคม 2549 เข้าถึงได้จาก <http://www.gisdevelopment.net/ars/acrs/1998/ps1/ps1010.asp>

- Micha Klein and Dov Zviely. (2001). *The environmental impact of marina development on adjacent beaches: a case study of the Herzliya marina, Israel.* วันที่ค้นข้อมูล 9 มีนาคม 2549. เข้าถึงได้จาก <http://www.sciencedirect.com/>
- Nairn et al. (1986). วันที่ค้นข้อมูล 11 มีนาคม 2549. เข้าถึงได้จาก <http://www.sciencedirect.com/>
- Trenhaile, A. S. (2000). *Modeling the evolution of wave-cut shore platforms.* Marine Geology Vol. 166, p. 163-178.
- Sunamura. (1992). วันที่ค้นข้อมูล 11 มีนาคม 2549. เข้าถึงได้จาก <http://www.sciencedirect.com/>

ภาคผนวก

ภาควิชาจิตวิทยา
สัมประสิทธิ์สหสัมพันธ์ (Correlation Coefficient)

ตารางที่ ก-1 ตารางแสดงความสัมพันธ์ของพัฒนาการด้านภาษา ตาม ความต้องการ น้ำเสียง-น้ำเสียง ปริมาณน้ำเสียง ฉุณหภูมิและความรู้ในอนาคต

Correlations

		ความสัมพันธ์				
		ความรู้ภาษาไทย	ความรู้ภาษาอังกฤษ	ความรู้ภาษาจีน	ความรู้ภาษาญี่ปุ่น	ความรู้ภาษาฝรั่งเศส
		ค่า	ค่า	ค่า	ค่า	ค่า
พัฒนาการด้านภาษา	Pearson Correlation		.497	.272	.982(**)	.444
	Sig. (2-tailed)		.503	.728	.018	.556
N		4	4	4	4	4
คำ	Pearson Correlation	.497	1	.432	.384	.405
	Sig. (2-tailed)	.503	.	.568	.616	.595
N		4	4	4	4	4
น้ำเสียง-น้ำเสียง	Pearson Correlation	.272	.432	1	.093	.354
	Sig. (2-tailed)			.568	.	.276
N		4	4	4	4	4
ความรู้ภาษาไทย	Pearson Correlation	.728	.568	.907	.646	.724
	Sig. (2-tailed)			.	.	.
N		4	4	4	4	4
ความรู้ภาษาอังกฤษ	Pearson Correlation	.982(*)	.384	.093	1	.442
	Sig. (2-tailed)	.018	.616	.907	.	.178
N		4	4	4	4	4
ความรู้ภาษาจีน	Pearson Correlation	-.444	-.405	-.354	-.442	1
	Sig. (2-tailed)					.637
N		4	4	4	4	4
ความรู้ภาษาญี่ปุ่น	Pearson Correlation	.556	.595	.646	.558	.822
	Sig. (2-tailed)					.
N		4	4	4	4	4
ความรู้ภาษาฝรั่งเศส	Pearson Correlation	.276	.963(**)	.276	.178	.637
	Sig. (2-tailed)			.724	.822	.363
N		4	4	4	4	4
ความรู้ภาษาฝรั่งเศส	Pearson Correlation	.611	.991(**)	.431	.506	.303
	Sig. (2-tailed)			.389	.009	.697
N		4	4	4	4	4

* Correlation is significant at the 0.05 level (2-tailed).

** Correlation is significant at the 0.01 level (2-tailed).

ภาคผนวก ๖

การวิเคราะห์การถดถอยเส้น (Linear Regression Analysis)

ตารางที่ ๑-๑ ตารางแสดงค่า R^2 และการวิเคราะห์ตัวหนากรากของตัวแปรตามในการทดสอบของความชื้นในอากาศ

Model Summary

Model	R	R Square	Adjusted R Square	Std. Error of the Estimate
1	.982(a)	.964	.945	126724.32417

a Predictors: (Constant), humidity

Coefficients(a)

Model		Unstandardized Coefficients			Standardized Coefficients			95% Confidence Interval for B		
		B	Std. Error	Beta	t	Sig.	Lower Bound	Upper Bound		
								Coefficients		
1	(Constant)	-39874637.184	5424136.298		-7.351	.018	-63212812.033	-16536462.336		
	humidity	501690.601	68891.447	.982	7.282	.018	205274.630	798106.573		

a Dependent Variable: ผู้พิทักษ์[ก]

ANOVA(b)

Model		Sum of Squares	df	Mean Square	F	Sig.
1	Regression	851650265019.570	1	851650265019.570	53.032	.018(a)
	Residual	32118108673.615	2	16059054336.807		
	Total	883768373693.185	3			

a Predictors: (Constant), humidity

b Dependent Variable: ผู้พิทักษ์[ก]

ตารางที่ บ-2 ตารางแสดงค่า R² และการวิเคราะห์ค่าสมการลด้อยลง ความสูงค่า

Model Summary

Model	R	R Square	Adjusted R Square	Std. Error of the Estimate
1	.611(a)	.374	.060	526105.57022

a Predictors: (Constant), wave

Coefficients(a)

Model		Unstandardized Coefficients		Standardized Coefficients		t	Sig.	95% Confidence Interval for B	
		B	Std. Error	Beta	t			Lower Bound	Upper Bound
		(Constant)	-2818266.539	2250600.675		-1.252	.337	-12501819.678	6865286.601
	wave	1284901.225	1176407.818	.611	1.092	.389	-3776773.086	6346575.536	

a Dependent Variable: ลุนพื้นทราย

ANOVA(b)

Model		Sum of Squares	df	Mean Square	F	Sig.
1	Regression	330194231650.128	1	330194231650.128	1.193	.389(a)
	Residual	553574142043.058	2	276787071021.529		
	Total	883768373693.185	3			

a Predictors: (Constant), wave

b Dependent Variable: ลุนพื้นทราย

ตารางที่ 3 ตารางแสดงค่า R^2 และการวิเคราะห์ถดถอยเชิงคุณค่า

Model Summary

Model	R	R Square	Adjusted R Square	Std. Error of the Estimate
1	.497(a)	.247	.1129	576833.21595

a Predictors: (Constant), wind

Coefficients(a)

Model		Unstandardized Coefficients		Standardized Coefficients		t	Sig.	95% Confidence Interval for B	
		B	Std. Error	Beta				Lower Bound	Upper Bound
	wind	2670590.096	3297124.497	.497	.810	-.888	.503	-11515791.621	16856971.813
1									

a Dependent Variable: พันล้านบาท[1]

ANOVA(b)

Model		Sum of Squares	df	Mean Square		F	Sig.
					F		
1	Regression	218295255657.633	1	218295255657.633		.656	.503(a)
	Residual	66543118035.552	2	332736559017.776			
	Total	883768373693.185	3				

a Predictors: (Constant), wind

b Dependent Variable: พันล้านบาท[1]

ตารางที่ ๔-๔ ตารางแสดงค่า R^2 และการวิเคราะห์ถดถอยของ อุณหภูมิ

Model Summary

Model	R	R Square	Adjusted R Square	Std. Error of the Estimate
1	.444(a)	.197	.197	595774.39019

a Predictors: (Constant), temperature

Coefficients(a)

Model		Standardized Coefficients			Sig.	95% Confidence Interval for B		
		Unstandardized Coefficients		Beta		Lower Bound	Upper Bound	
		B	Std. Error					
1	(Constant)	23935882.260	34738890.837		.689	.562	-125533301.228	173405265.748
	temperature	-862954.228	1232968.872	-4.44	.700	.556	-6167991.110	4442082.653

a Dependent Variable: พนักพิงทางบก

ANOVA(b)

Model		Sum of Squares	df	Mean Square	F	Sig.
1	Regression	173874125677.635	1	173874125677.635	.490	.556(a)
	Residual	709894248015.550	2	354947124007.775		
	Total	883768373693.185	3			

a Predictors: (Constant), temperature

b Dependent Variable: พนักพิงทางบก

ตารางที่ บ-๕ ตารางแสดงค่า R^2 และการวิเคราะห์ตามการทดสอบของ นำเสนอ — นำเสนอ

Model Summary

Model	R	R Square	Adjusted R Square	Std. Error of the Estimate
1	.276(a)	.076	-.385	638832.16688

a Predictors: (Constant), tide

Coefficients(a)

Model		Unstandardized Coefficients		Beta	t	95% Confidence Interval for B	
		B	Std. Error			Lower Bound	Upper Bound
1	(Constant)	-6852713.043	15919710.570		-.430	-75349699.184	61644273.097
	tide	2583843.923	6350725.520	.276	.407	-24741122.572	29908810.419

a Dependent Variable: พนพำทยา

ANOVA(b)

Model		Sum of Squares	df	Mean Square	F	Sig.
1	Regression	67555298807.364	1	67555298807.364	.166	.724(a)
	Residual	816213074885.821	2	408106537442.911		
	Total	883768373693.185	3			

a Predictors: (Constant), tide

b Dependent Variable: พนพำทยา

ตารางที่ ช-6 ตารางแสดงค่า R^2 และการวิเคราะห์สำ暮การทดสอบของ ปริมาณนำผู้

Model Summary

Model	R Square	Adjusted R Square	Std. Error of the Estimate
1	.272(a)	.074	.389

a Predictors: (Constant), rain

Coefficients(a)

Model		Unstandardized Coefficients		t	Sig.	95% Confidence Interval for B	
		B	Std. Error			Beta	Lower Bound
1	(Constant)	-1489289.608	2800224.853	-.532	.648	-13537684.714	10559105.499
	rain	4452.848	11136.368			.272	.728

a Dependent Variable: พุ่มพานา

ANOVA(b)

Model		Sum of Squares	df	Mean Square	F	Sig.
1	Regression	65418088539.083	1	65418088539.083	.160	.728(a)
	Residual	818350285154.102	2	409175142577.051		
	Total	883768373693.185	3			

a Predictors: (Constant), rain

b Dependent Variable: พุ่มพานา

ตารางที่ บ-7 ตารางผลลัพธ์ R^2 และการวิเคราะห์ค่าสมการลดผลของ ความถูกต้อง, คอม

Model Summary

Model	R	R Square	Adjusted R Square	Std. Error of the Estimate
1	.999(a)	.998	.995	37552.64392

a Predictors: (Constant), wind, wave

Coefficients(a)

Model		Unstandardized Coefficients		t	95% Confidence Interval for B	
		B	Std. Error		Sig.	Lower Bound
		Beta				Upper Bound
1	(Constant)	18950085.060	1123639.377	16.865	.038	4672893.080
	wave	13278128.113	618420.891	21.471	.030	5420345.656
	wind	-30950262.937	1580826.603	-5.760	.032	-51036569.401
				-19.579		-10863956.473

a Dependent Variable: พัฒนาญี่ปุ่น

ANOVA(b)

Model		Sum of Squares	df	Mean Square	F	Sig.
1	Regression	882327970512.522	2	441163985256.261	306.278	.040(a)
	Residual	1440403180.663	1	1440403180.663		
	Total	883768373693.185	3			

a Predictors: (Constant), wind, wave

b Dependent Variable: พัฒนาญี่ปุ่น

ตารางที่ ญ-8 ตารางแสดงค่า R² และการวิเคราะห์ค่าสมการการลดของความชื้นในอากาศ, ปริมาณน้ำฝน

Model Summary

Model	R	R Square	Adjusted R Square	Std. Error of the Estimate
1	.998(a)	.997	.990	53447.83592

a Predictors: (Constant), rain, humidity

Coefficients(a)

Model		Unstandardized Coefficients		t	Sig.	95% Confidence Interval for B	
		B	Std. Error			Beta	Lower Bound
1	(Constant)	-39940992.022	2287802.707	-17.458	.036	-69010281.615	-10871702.429
	humidity	493043.375	29181.323	16.896	.038	122259.516	863827.233
	rain	2990.930	934.520	.183	.193	-8883.272	14865.133

a Dependent Variable: ฝนที่ตก

ANOVA(b)

Model		Sum of Squares	df	Mean Square	F	Sig.
1	Regression	880911702528.191	2	440455851264.096	154.185	.057(a)
	Residual	2856671164.994	1	2856671164.994		
	Total	883768373693.185	3			

a Predictors: (Constant), rain, humidity

b Dependent Variable: ฝนที่ตก

ตารางที่ ๖-๙ ตารางแสดงค่า R² และการวิเคราะห์ถ้าสามารถลดต่ำลง ความซ้ำในอนาคต

Model Summary

Model	R	R Square	Adjusted R Square	Model Summary	
				Std. Error of the Estimate	
1	.991(a)	.981	.943	129073.84925	

a Predictors: (Constant), humidity, wave

Coefficients(a)

Model		Unstandardized Coefficients		Standardized Coefficients		Sig.	t	95% Confidence Interval for B		Lower Bound	Upper Bound
		B	Std. Error	Beta							
1	(Constant)	-37361395.013	6109818.226				-6.115	-103	-114999996.292	40271206.266	
	wave	322428.991	334730.272	.153	.963	.512			-3930722.380	4575580.362	
	humidity	461986.672	81379.555	.904	5.677	.111			-572038.615	1496011.960	

a Dependent Variable: พันพี้ที่เมตร^๒

ANOVA(b)

Model		Sum of Squares	df	ANOVA(b)	
				F	Sig.
1	Regression	867108315134.036	2	433554157567.018	.26.024
	Residual	16660058559.149	1	16660058559.149	.137(a)
	Total	883768373693.185	3		

a Predictors: (Constant), humidity, wave

b Dependent Variable: พันพี้ที่เมตร^๒

ตารางที่ บ-10 ตารางแสดงค่า R² และการวิเคราะห์ค่าถมการการลดต่ำของ ณ, ความชื้นในอากาศ

Model Summary

Model	R	R Square	Adjusted R Square	Std. Error of the Estimate
1	.990(a)	.980	.941	131325.72344

a Predictors: (Constant), humidity, wind

Coefficients(a)

Model		Unstandardized Coefficients		Beta	t	Sig.	95% Confidence Interval for B	
		B	Std. Error				Lower Bound	Upper Bound
		Coefficients						
1	(Constant)	-38789014.146	5741377.268		-6.756	.094	-111740129.179	34162100.887
	wind	755025.887	813077.374	.141	.929	.524	-9576101.690	11086153.464
	humidity	474095.419	77330.730	.928	6.131	.103	-508484.674	1456675.512

a Dependent Variable: ณ พื้นที่ทางบก

ANOVA(b)

Model		Sum of Squares	df	Mean Square	F	Sig.
1	Regression	866521928056.756	2	433260964028.378	25.122	.140(a)
	Residual	17246445636.429	1	17246445636.429		
	Total	883768373693.185	3			

a Predictors: (Constant), humidity, wind

b Dependent Variable: ณ พื้นที่ทางบก

ตารางที่ ช-11 ตารางแสดงค่า R² และการวิเคราะห์ค่าสถิติการทดสอบของ ความชื้นในอากาศ, น้ำ汽 - น้ำฝน

Model Summary

Model	R	R Square	Adjusted R Square	Std. Error of the Estimate
1	.987(a)	.974	.923	150836.75797

a Predictors: (Constant), tide, humidity

Coefficients(a)

Model		Unstandardized Coefficients		t	Sig.	95% Confidence Interval for B	
		B	Std. Error	Beta		Lower Bound	Upper Bound
1	(Constant)	-41573999.846	6978357.040			-5.958	.106
	humidity	492148.390	833337.481	.963	.5905	.107	-130242433.112
	tide	977800.689	1523953.148	.105	.642	.637	47094433.420
						-5666754.709	1551051.490
						-18385860.024	20341461.402

a Dependent Variable: ฝนที่ทางบก

ANOVA(b)

Model		Sum of Squares	df	Mean Square	F	Sig.
1	Regression	861016646136.920	2	430508323068.460		
	Residual	22751727556.265	1	22751727556.265		.160(a)
	Total	883768373693.185	3			.8922

a Predictors: (Constant), tide, humidity

b Dependent Variable: ฝนที่ทางบก

ตารางที่ ญ-12 ตารางแสดงค่า R^2 และผลการวิเคราะห์ความถ่วงการทดสอบของ นำเป็น – นำต่อ, ความถ่วงคงที่น

Model Summary

Model	R	R Square	Adjusted R Square	Std. Error of the Estimate
1	.963(a)	.928	.784	252171.01908

a Predictors: (Constant), wave, tide

Coefficients(a)

Model		Unstandardized Coefficients		t	Sig.	95% Confidence Interval for B	
		B	Std. Error			Beta	
						Lower Bound	Upper Bound
1	(Constant)	35258158.580	13759393.389	2.562	.237	-139571510.862	210087828.021
	tide	-18028610.378	6494810.934			.220	-100553007.824
	wave	5025831.879	1460881.362			.180	23588095.558

a Dependent Variable: หมุนต่อ หมายบ

ANOVA(b)

Model		Sum of Squares	df	F	Mean Square		Sig.
1	Regression	820178150828.343	2	410089075414.171	6.449		.268(a)
	Residual	63590222864.843	1	63590222864.843			
	Total	883768373693.185	3				

a Predictors: (Constant), wave, tide

b Dependent Variable: หมุนต่อ หมายบ

ตารางที่ ช-13 ตารางแสดงค่า R^2 และการวิเคราะห์ความถูกต้องของความถูกต้อง ความหนาแน่น อุณหภูมิ

Model Summary

Model	R Square	Adjusted R Square	Std. Error of the Estimate
1	.899(a)	.809	.426

a Predictors: (Constant), temperature, wave

Coefficients(a)

Model		Unstandardized Coefficients			Sig.	95% Confidence Interval for B			
		B	Standardized Coefficients Beta	t		Lower Bound	Upper Bound		
1	(Constant)	34276473.453	24668079.128	1.390	.397	-279161190.396	347714137.303		
	wave	1725263.123	.964898.592	1.788	.325	-10534935.932	13985462.179		
	temperature	-1346329.371	893031.857	.692	-1.508	.373	-126933374.985	100000716.243	

a Dependent Variable: พูนท์ฟ้า ๑๘°ก]

ANOVA(b)

Model	Sum of Squares	df	Mean Square	F	Sig.
1	714626510813.165	2	357313255406.583		
	169141862880.020	1	169141862880.020	2.113	.437(a)
	883768373693.185	3			

a Predictors: (Constant), temperature, wave

b Dependent Variable: พูนท์ฟ้า ๑๘°ก]

ตารางที่ บ-14 ตารางแสดงค่า R^2 และการวิเคราะห์ความก่อการติดเชื้อของ น้ำปูน - น้ำเงี้ยว, ตาม

Model Summary

Model	R	R Square	Adjusted R Square	Std. Error of the Estimate
1	.896(a)	.803	.409	417183.79452

a Predictors: (Constant), wind, tide

Coefficients(a)

Model		Unstandardized Coefficients			Standardized Coefficients			95% Confidence Interval for B		
		B	Std. Error	Beta	t	Sig.	Lower Bound	Upper Bound		
1	(Constant)	39768383.409	26403689.510		1.506	.373	-295722301.298	375259068.116		
	tide	-25733238.822	15314072.354	-2.754	-1.680	.342	-220316977.497	168850499.853		
	wind	16915638.560	8805199.764	3.148	1.921	.306	-94967032.383	128794309.504		

a Dependent Variable: พื้นที่ทราย [1]

ANOVA(b)

Model		Sum of Squares	df	Mean Square		F	Sig.
					F		
1	Regression	709726055283.008	2	354863027641.504		2.039	.444(a)
	Residual	174042318410.177	1	174042318410.177			
	Total	883768373693.185	3				

a Predictors: (Constant), wind, tide

b Dependent Variable: พื้นที่ทราย [1]

ตารางที่ ช-15 ตารางแสดงค่า R² และการวิเคราะห์ความก่อการกรดออกซิเจน ลม, อุณหภูมิ

Model Summary

Model	R	R Square	Adjusted R Square	Std. Error of the Estimate
1	.863(a)	.744	.733	475248.16376

a Predictors: (Constant), temperature, wind

Coefficients(a)

Model		Unstandardized Coefficients		Standardized Coefficients		Sig.	95% Confidence Interval for B		
		B	Std. Error	Beta	t		Lower Bound	Upper Bound	
1	(Constant)	35644205.783	28842238.803		1.236	.433	-3308311185.501	402119597.066	
	wind	4349409.847	2971071.489	.809	1.464	.382	-33401632.782	42100452.476	
	temperature	-1500765.261	1075717.658	-.771	-1.395	.396	-15169054.063	12167523.542	

a Dependent Variable: พันต่ำมูลค่า

ANOVA(b)

Model		Sum of Squares	df	Mean Square	F		Sig.
1	Regression	657907556332.781	2	328953778266.390		1.456	.506(a)
	Residual	225860817160.404	1	225860817160.404			
	Total	883768373693.185	3				

a Predictors: (Constant), temperature, wind

b Dependent Variable: พันต่ำมูลค่า

ตารางที่ ป-16 ตารางแสดงค่า R^2 และการวิเคราะห์ค่าสมมุติและการทดสอบของ น้ำท่วม – น้ำลง, อุณหภูมิ

Model Summary

Model	R	R Square	Adjusted R Square	Std. Error of the Estimate
1	.850(a)	.722	.166	495798.45189

a Predictors: (Constant), temperature, tide

Coefficients(a)

Model		Standardized Coefficients			Sig.	95% Confidence Interval for B		
		Unstandardized Coefficients		Beta		t	Lower Bound	Upper Bound
		B	Std. Error					
1	(Constant)	34715255.607	29954984.684		1.159	.453	-345898912.652	415329423.867
	tide	8781473.459	6391120.443	.940	1.374	.401	-72425411.382	89988358.301
	temperature	-2026721.876	1330487.248	-1.042	-1.523	.370	-18932165.253	14878721.501

a Dependent Variable: พื้นที่ทราย[b]

ANOVA(b)

Model		Sum of Squares	df	Mean Square	F	Sig.
1	Regression	637952268797.818	2	318976134398.909	1.298	.527(a)
	Residual	245816104895.367	1	245816104895.367		
	Total	883768373693.185	3			

a Predictors: (Constant), temperature, tide

b Dependent Variable: พื้นที่ทราย[b]

ตารางที่ ป-17 ตารางแสดงค่า R² และการวิเคราะห์ความถูกต้องและการลดเหลื่อยของ ลม, ปริมาณฝน

Model Summary

Model	R	R Square	Adjusted R Square	Std. Error of the Estimate
1	.501(a)	.251	.247	813561.35348

a Predictors: (Constant), rain, wind

Coefficients(a)

Model		Unstandardized Coefficients		Standardized Coefficients		t	Sig.	95% Confidence Interval for B	
		B	Std. Error	Beta	t			Lower Bound	Upper Bound
1	(Constant)	-4274401.375	6745113.895			-.634	.640	-89979199.489	81430396.739
	wind	2506640.738	5155482.863	.466	.486	.712		-62999980.035	68013261.512
	rain	1156.627	15702.660	.071	.074	.953		-198364.586	200677.840

a Dependent Variable: พื้นที่ทราย[b]

ANOVA(b)

Model		Sum of Squares	df	Mean Square	F	Sig.
1	Regression	221886297823.455	2	110943148911.727		
	Residual	661882075869.731	1	661882075869.731		
	Total	883768373693.185	3			

a Predictors: (Constant), rain, wind

b Dependent Variable: พื้นที่ทราย[b]

ตารางที่ ช-18 ตารางแสดงค่า R² และการวิเคราะห์ความก่อการกระดูกของปริมาณน้ำฝน บนภูมิ

Model Summary

Model	R	R Square	Adjusted R Square	Std. Error of the Estimate
1	.460(a)	.212	.1364	834552.06937

a Predictors: (Constant), temperature, rain

Coefficients(a)

Model		Unstandardized Coefficients			Standardized Coefficients			95% Confidence Interval for B		
		B	Std. Error	Beta	t	Sig.	Lower Bound	Upper Bound		
1	(Constant)	20844815.513	53515841.914		.390	.764	-659138428.480	700828059.506		
	rain	2155.812	15532.277	.132	.139	.912	-195200.476	199512.100		
	temperature	-772355.025	1846360.219	-.397	-.418	.748	-24232585.984	22687875.935		

a Dependent Variable: พนทีทางบก

ANOVA(b)

Model		Sum of Squares	df	F	Sig.
1	Regression	187291217211.349	2	93645608605.675	.134
	Residual	696477156481.836	1	696477156481.836	.888(a)
	Total	883768373693.185	3		

a Predictors: (Constant), temperature, rain

b Dependent Variable: พนทีทางบก

ตารางที่ ช-19 ตารางแสดงค่า R^2 และการวิเคราะห์ความก่อการกระดูกของ ปริมาณน้ำฝน, น้ำแข็ง – น้ำทะเล

Model Summary

Model	R	R Square	Adjusted R Square	Std. Error of the Estimate
1	.343(a)	.118	.118	882903.95301

a Predictors: (Constant), rain, tide

Coefficients(a)

Model		Unstandardized Coefficients		Standardized Coefficients		t	Sig.	95% Confidence Interval for B	
		B	Std. Error	Beta	t			Lower Bound	Upper Bound
1	(Constant)	-6351026.320	22123159.895			-287	.822	-287452425.362	274750372.722
	tide	2037880.388	9130686.911	.218	.223	.860	.860	-113978496.887	118054257.663
	rain	3469.270	15990.272	.212	.217	.864	.864	-199706.399	206644.939

a Dependent Variable: พื้นที่ทราย

ANOVA(b)

Model		Sum of Squares	df	Mean Square	F	Sig.
1	Regression	104248983457.617	2	52124491728.809		.067
	Residual	779519390235.568	1	779519390235.568		.939(a)
	Total	883768373693.185	3			

a Predictors: (Constant), rain, tide

b Dependent Variable: พื้นที่ทราย

ตารางที่ ญ-20 ตารางแสดงค่า R^2 และการวิเคราะห์สถิติกากรากลลดของ จำเป็น – น้ำดึง, ความสูงคลื่น, ลม

Model Summary

Model	R	R Square	Adjusted R Square	Std. Error of the Estimate
1	1.000(a)	1.000	1.000	.

a Predictors: (Constant), wind, tide, wave

Coefficients(a)

Model		Unstandardized Coefficients		t	Sig.	95% Confidence Interval for B	
		B	Std. Error			Lower Bound	Upper Bound
			Beta				
1	(Constant)	21638490.165	.000			21638490.165	21638490.165
	tide	-2529235.920	.000	-2.71		-2529235.920	-2529235.920
	wave	12341091.914	.000	5.871		12341091.914	12341091.914
	wind	-27177739.962	.000	-5.058		-27177739.962	-27177739.962

a Dependent Variable: พันพักษาบบ

ANOVA(b)

Model		Sum of Squares	df	Mean Square	F	Sig.
1	Regression	883768373693.184	3	294589457897.728		
	Residual	.001	0			
	Total	883768373693.185	3			

a Predictors: (Constant), wind, tide, wave

b Dependent Variable: พันพักษาบบ

ตารางที่ ช-21 ตารางแสดงค่า R^2 และการวิเคราะห์ความถูกต้องของปริมาณนำเข้า ความถูกต้อง, ต.m

Model Summary

Model	R	R Square	Adjusted R Square	Std. Error of the Estimate
1	.1.000(a)	1.000	1.000	

a Predictors: (Constant), wind, rain, wave

Coefficients(a)

Model		Unstandardized Coefficients		Beta	t	Sig.	95% Confidence Interval for B	
		B	Std. Error				Lower Bound	Upper Bound
1	(Constant)	18887434.368	.000				18887434.368	18887434.368
	rain	732.796	.000	.045			732.796	732.796
	wave	13261436.311	.000	.6.309			13261436.311	13261436.311
	wind	-31011870.774	.000	-.5.771			-31011870.774	-31011870.774

a Dependent Variable: พื้นที่ดิน

ANOVA(b)

Model		Sum of Squares	df	Sig.	
				F	F
1	Regression	883768373693.185	3	294589457897.728	(a)
	Residual	.000	0		
	Total	883768373693.185	3		

a Predictors: (Constant), wind, rain, wave

b Dependent Variable: พื้นที่ดิน

ตารางที่ ญ-22 ตารางแสดงค่า R^2 และการวิเคราะห์ความนักการคาดคะยอง อุณหภูมิ, ความสูงคลื่น, ลม

Model Summary

Model	R	R Square	Adjusted R Square	Std. Error of the Estimate
1	1.000(a)	1.000	1.000	.

a Predictors: (Constant), wind, temperature, wave

Coefficients(a)

Model		Unstandardized Coefficients			t	Sig.	95% Confidence Interval for B		
		B	Std. Error	Coefficients			Lower Bound	Upper Bound	
		(Constant)	21265497.570	.000			21265497.570	21265497.570	
1	temperature	-138610.095	.000	-.071			-138610.095	-138610.095	
	wave	12495036.746	.000	5.944			12495036.746	12495036.746	
	wind	-28812383.146	.000	-5.362			-28812383.146	-28812383.146	

a Dependent Variable: พนพหำย[ก]

ANOVA(b)

Model		Sum of Squares	df	F		Sig.
					Mean Square	
1	Regression	883768373693.185	3	294589457897.728		.(a)
	Residual	.000	0			
	Total	883768373693.185	3			

a Predictors: (Constant), wind, temperature, wave

b Dependent Variable: พนพหำย[ก]

ตารางที่ ช-23 ตารางแสดงค่า R^2 และการวิเคราะห์ตัวแปรเดPENDENT ความชื้นในอากาศ, ลม, ความสูงคลื่น

Model Summary

Model	R	R Square	Adjusted R Square	Std. Error of the Estimate
1	.1,000(a)	1.000	1.000	.

a Predictors: (Constant), wave, humidity, wind

Coefficients(a)

Model	Unstandardized Coefficients			Sig.	95% Confidence Interval for B				
	B	Std. Error	Coefficients		1		Lower Bound	Upper Bound	
			Beta		t				
1	(Constant)	42463464.153	.000				42463464.153	42463464.153	
	humidity	-194513.613	.000	-.381			-194513.613	-194513.613	
	wind	-43703012.886	.000	-8.133			-43703012.886	-43703012.886	
	wave	18625055.413	.000	8.860			18625055.413	18625055.413	

a Dependent Variable: พนพหภัย

ANOVA(b)

Model		Sum of Squares	df	Mean Square		Sig.
				F		
1	Regression	883768373693.185	3	294589457897.728		(a)
	Residual	.000	0			
	Total	883768373693.185	3			

a Predictors: (Constant), wave, humidity, wind

b Dependent Variable: พนพหภัย

ตารางที่ ญ-24 ตารางแสดงค่า R^2 และการวิเคราะห์ถ้าสมการการลดต้อยของ ความสูงคลื่น, ปริมาณฝน, น้ำทุ่น-น้ำตก

Model Summary

Model	R	R Square	Adjusted R Square	Std. Error of the Estimate
1	1.000(a)	1.000	1.000	

a Predictors: (Constant), tide, rain, wave

Coefficients(a)

Model		Unstandardized Coefficients		t	Sig.	95% Confidence Interval for B		
		B	Std. Error			Beta	Lower Bound	Upper Bound
1	(Constant)	41138993.074	.000				41138993.074	41138993.074
	wave	5817349.783	.000	2.767			5817349.783	5817349.783
	rain	-5194.330	.000	-317			-5194.330	-5194.330
	tide	-20457397.349	.000	-2.189			-20457397.349	-20457397.349

a Dependent Variable: มวลน้ำท่วม

ANOVA(b)

Model		Sum of Squares	df	Mean Square	F	Sig.
1	Regression	883768373693.185	3	294589457897.728		(a)
	Residual	.000	0	0		
	Total	883768373693.185	3			

a Predictors: (Constant), tide, rain, wave

b Dependent Variable: มวลน้ำท่วม

ตารางที่ 4-25 ตารางแสดงค่า R^2 และการวิเคราะห์สำหรับการทดสอบของ บุษพันธ์, น้ำตก, ความสูงคลื่น

Model Summary

Model	R	R Square	Adjusted R Square	Std. Error of the Estimate
1	.1.000(a)	1.000	1.000	

a Predictors: (Constant), wave, temperature, tide

Coefficients(a)

Model		Unstandardized Coefficients			t	Sig.	95% Confidence Interval for B				
		Standardized Coefficients		Beta					Upper Bound		
		B	Std. Error				Lower Bound	Upper Bound			
1	(Constant)	27839902.101	.000				27839902.101	27839902.101			
	temperature	2304545.201	.000	.1.185			2304545.201	2304545.201			
	tide	-44580563.590	.000	-.4.770			-44580563.590	-44580563.590			
	wave	9781589.844	.000	4.653			9781589.844	9781589.844			

a Dependent Variable: มวลทราย [g]

ANOVA(b)

Model		Sum of Squares	df	Mean Square	F	Sig.
1	Regression	883768371693.184	3	294589457897.728		.(a)
	Residual	.001	0			
	Total	883768375693.185	3			

a Predictors: (Constant), wave, temperature, tide

b Dependent Variable: มวลทราย [g]

ตารางที่ ช-26 ตารางแสดงค่า R^2 และการวิเคราะห์ถ้วนการทดสอบของความต่างกัน, ความเข้มในอนาคต, นำเข้า-นำออก

Model Summary

Model	R	R Square	Adjusted R Square	Std. Error of the Estimate
1	1.000(a)	1.000	1.000	

a Predictors: (Constant), tide, humidity, wave

Coefficients(a)

Model		Unstandardized Coefficients		Beta	t	Sig.	95% Confidence Interval for B	
		B	Std. Error				Lower Bound	Upper Bound
1	(Constant)	-12610610.009	.000				-12610610.009	-12610610.009
	wave	2006380.548	.000	.954			2006380.548	2006380.548
	humidity	319900.338	.000	.626			319900.338	319900.338
	tide	-6688859.574	.000	-.716			-6688859.574	-6688859.574

a Dependent Variable: พระอาทิตย์[1]

ANOVA(b)

Model		Sum of Squares	df	Mean Square	F	Sig.
1	Regression	883768373693.185	3	294589457897.728		
	Residual	.000	0			
	Total	883768373693.185	3			

a Predictors: (Constant), tide, humidity, wave

b Dependent Variable: พระอาทิตย์[1]

ตารางที่ ญ-27 ตารางแสดงค่า R² และการวิเคราะห์ค่าสมการการติดตั้งของ ปริมาณน้ำหนาม อุณหภูมิ ความชื้นในดิน

Model Summary

Model	R	R Square	Adjusted R Square	Std. Error of the Estimate
1	1.000(a)	1.000	1.000	

a Predictors: (Constant), wave, temperature, rain

Coefficients(a)

Model		Unstandardized Coefficients			Standardized Coefficients			95% Confidence Interval for B		
		B	Std. Error	Beta	t	Sig.	Lower Bound	Upper Bound		
1	(Constant)	52417147.263	.000				52417147.263			
	rain	-9599.326	.000	.587			-9599.326			
	temperature	-1954345.314	.000	-1.005			-1954345.314			
	wave	2455517.704	.000	1.168			2455517.704			

a Dependent Variable: พันตรีน้ำ

ANOVA(b)

Model		Sum of Squares	df	Mean Square	F	Sig.
1	Regression	883768373693.185	3	294589457897.728		
	Residual	.000	0			
	Total	883768373693.185	3			

a Predictors: (Constant), wave, temperature, rain

b Dependent Variable: พันตรีน้ำ

ตารางที่ บ-28 ตารางแสดงค่า R^2 และการวิเคราะห์ถ้าสมการการ hồi帰ของความชื้นคงเดิม, ปริมาณน้ำฝน, ความชื้นในอากาศ

Model Summary

Model	R	R Square	Adjusted R Square	Std. Error of the Estimate
1	1.000(a)	1.000	1.000	

a Predictors: (Constant), humidity, rain, wave

Coefficients(a)

Model		Unstandardized Coefficients		t	95% Confidence Interval for B	
		B	Std. Error		Beta	Sig.
1	(Constant)	-38722572.880	.000			
	wave	154982.930	.000	.074		-38722572.880
	rain	2523.445	.000	.154		154982.930
	humidity	475310.337	.000	.930		2523.445
						475310.337
						475310.337

a Dependent Variable: ภูมิภาคที่ ๑

ANOVA(b)

Model		Sum of Squares	df	Mean Square	Sig.
1	Regression	883768373693.185	3	294589457897.728	(a)
	Residual		0		
	Total	883768373693.185	3		

a Predictors: (Constant), humidity, rain, wave

b Dependent Variable: ภูมิภาคที่ ๑

ตารางที่ ญ-29 ตารางแสดงค่า R^2 และการวิเคราะห์ความถูกต้องของการทดสอบของ อุณหภูมิ, ความชื้นในอากาศ

Model Summary

Model	R	R Square	Adjusted R Square	Std. Error of the Estimate
1	1.000(a)	1.000	1.000	

a Predictors: (Constant), humidity, temperature, wave

Coefficients(a)

Model		Unstandardized Coefficients			Sig.	95% Confidence Interval for B			
		B	Std. Error	Beta					
						t	Lower Bound	Upper Bound	
1	(Constant)	-19751164.973	.000			-19751164.973	-19751164.973		
	temperature	-406811.455	.000	-.209		-406811.455	-406811.455		
	wave	633856.285	.000	.302		633856.285	633856.285		
	humidity	376370.970	.000	.736		376370.970	376370.970		

a Dependent Variable: พัฒนาการ

ANOVA(b)

Model		Sum of Squares	df	Mean Square	F	Sig.
1	Regression	883768373693.185	3	294589457897.728		(a)
	Residual		0			
	Total	883768373693.185	3			

a Predictors: (Constant), humidity, temperature, wave

b Dependent Variable: พัฒนาการ

ตารางที่ ป-30 ตารางแสดงค่า R² และการวิเคราะห์สมการทางคณิตศาสตร์ของ ลม, ปริมาณน้ำฝน, น้ำแข็ง-น้ำตก

Model Summary

Model	R	R Square	Adjusted R Square	Std. Error of the Estimate
1	1.000(a)	1.000	1.000	1.000

a Predictors: (Constant), tide, rain, wind

Coefficients(a)

Model		Unstandardized Coefficients		Standardized Coefficients		95% Confidence Interval for B	
		B	Std. Error	Beta	t	Sig.	Lower Bound
							Upper Bound
1	(Constant)	58527976.893	.000				58527976.893
	wind	24234927.820	.000	4.510			24234927.820
	rain	-9826.216	.000	-.600			-9826.216
	tide	-36444293.198	.000	-3.900			-36444293.198

a Dependent Variable: พุ่มไม้ใหญ่

ANOVA(b)

Model		Sum of Squares	df	Mean Square	F	Sig.
1	Regression	883766373693.185	3	294589457897.728		.(a)
	Residual		0			
	Total	883766373693.185	3			

a Predictors: (Constant), tide, rain, wind

b Dependent Variable: พุ่มไม้ใหญ่

ตารางที่ บ-31 ตารางผลต่อค่า R^2 และการวิเคราะห์ค่าเฉลี่ยการกรองค่าของ นำเข้า-นำออก ชุมชนภูมิ ลง

Model Summary

Model	R	R Square	Adjusted R Square	Std. Error of the Estimate
1	1.000(a)	1.000	1.000	1.000

a Predictors: (Constant), wind, temperature, tide

Coefficients(a)

Model		Unstandardized Coefficients			Sig.	95% Confidence Interval for B			
		B	Standardized Coefficients Beta	t		Lower Bound	Upper Bound		
1	(Constant)	51539694.622	.000			51539694.622	51539694.622		
	tide	-205287149.640	.000	-21.966		-205287149.640	-205287149.640		
	temperature	11111772.279	.000	5.711		11111772.279	11111772.279		
	wind	103864540.023	.000	19.329		103864540.023	103864540.023		

a Dependent Variable: พุทธภพ [ก]

ANOVA(b)

Model		Sum of Squares	df	F	Mean Square	Sig.
1	Regression	883768373693.185	3	294589457897.728		(a)
	Residual	.000	0			
	Total	883768373693.185	3			

a Predictors: (Constant), wind, temperature, tide

b Dependent Variable: พุทธภพ [ก]

ตารางที่ คุณ-32 ตารางแสดงค่า R² และการวิเคราะห์ตัวสมการทางคณิตของความชื้นในอากาศ, เมือง-น้ำใจ, ตาม

Model Summary

Model	R	R Square	Adjusted R Square	Std. Error of the Estimate
1	1.000(a)	1.000	1.000	

a Predictors: (Constant), wind, humidity, tide

Coefficients(a)

Model		Unstandardized Coefficients		Beta	t	Sig.	95% Confidence Interval for B	
		B	Std. Error				Lower Bound	Upper Bound
		(Constant)	.000		-19259729.268		-19259729.268	-19259729.268
1	humidity	382005.780	.000	.747			382005.780	382005.780
	tide	-7496408.783	.000	-.802			-7496408.783	-7496408.783
	wind	5276285.605	.000	.982			5276285.605	5276285.605

a Dependent Variable: วัฒนาใจ

ANOVA(b)

Model		Sum of Squares	df	Mean Square	Sig.
1	Regression	883768373693.185	3	294589457897.728	
	Residual	.000	0		(a)
	Total	883768373693.185	3		

a Predictors: (Constant), wind, humidity, tide

b Dependent Variable: วัฒนาใจ

ตารางที่ ญ-33 ตารางแสดงค่า R^2 และการวิเคราะห์ตัวบทภาระติดต่อกัน ณ น.อ.ห.ร.น. ปริมาณน้ำฝน

Model Summary

Model	R	R Square	Adjusted R Square	Std. Error of the Estimate
1	1.000(a)	1.000	1.000	.

a Predictors: (Constant), rain, temperature, wind

Coefficients(a)

Model		Standardized Coefficients			Unstandardized Coefficients			95% Confidence Interval for B		
		B	Std. Error	Beta	t	Sig.	Lower Bound	Upper Bound		
1	(Constant)	60036379.519	.000				60036379.519		60036379.519	
	wind	7047082.296	.000	1.311			7047082.296		7047082.296	
	temperature	-2398447.263	.000	-1.233			-2398447.263		-2398447.263	
	rain	-11947.179	.000	-.730			-11947.179		-11947.179	

a Dependent Variable: พน.พ.ท.น.ท.ก.

ANOVA(b)

Model		Sum of Squares	df	Mean Square	F	Sig.
1	Regression	883768373693.185	3	294589457897.728		.(a)
	Residual	.000	0	0		
	Total	883768373693.185	3			

a Predictors: (Constant), rain, temperature, wind

b Dependent Variable: พน.พ.ท.น.ท.ก.

ตารางที่ ญ-34 ตารางแสดงค่า R^2 และการวิเคราะห์ค่าสถิติการทดสอบของ ลม, ความชื้นในอากาศ, ปริมาณฝน

Model Summary

Model	R	R Square	Adjusted R Square	Std. Error of the Estimate
1	1.000(a)	1.000	1.000	

a Predictors: (Constant), rain, humidity, wind

Coefficients(a)

Model	Unstandardized Coefficients			Standardized Coefficients			Sig.	t	95% Confidence Interval for B			
	B	Std. Error	Coefficients		Beta	t						
			Beta	t								
1	(Constant)	-39403807.340	.000					-39403807.340	-39403807.340			
	wind	366713.286	.000	.068				366713.286	366713.286			
	humidity	480930.850	.000	.941				480930.850	480930.850			
	rain	2544.619	.000	.155				2544.619	2544.619			

a Dependent Variable: ฝนตกหนัก[3]

ANOVA(b)

Model		Sum of Squares	df	Mean Square		Sig.
				F	Sig.	
1	Regression	883768373693.185	3	294589457899.728		
	Residual		0			
	Total	883768373693.185	3			

a Predictors: (Constant), rain, humidity, wind

b Dependent Variable: ฝนตกหนัก[3]

ตารางที่ ข-35 ตารางแสดงค่า R^2 และการวิเคราะห์ถ้าสามารถการทดสอบของ อุณหภูมิ, ลม, ความชื้นในอากาศ

Model Summary

Model	R	R Square	Adjusted R Square	Std. Error of the Estimate
1	.1.000(a)	1.000	1.000	.

a Predictors: (Constant), humidity, wind, temperature

Coefficients(a)

Model		Unstandardized Coefficients			t	Sig.	95% Confidence Interval for B				
		B	Standardized Coefficients Beta	Std. Error			Lower Bound	Upper Bound			
1	(Constant)	-21943077.441	.000				-21943077.441	-21943077.441			
	temperature	-421144.018	.000	.216			-421144.018	-421144.018			
	wind	1539721.127	.000	.287			1539721.127	1539721.127			
	humidity	396484.069	.000	.776			396484.069	396484.069			

a Dependent Variable: พิษพยาธิ

ANOVA(b)

Model		Sum of Squares	df	Mean Square	F	Sig.
1	Regression	883768373693.185	3	29458457897.728		(a)
	Residual	.000	0			
	Total	883768373693.185	3			

a Predictors: (Constant), humidity, wind, temperature

b Dependent Variable: พิษพยาธิ

ตารางที่ ช-36 ตารางแสดงค่า R² และการวิเคราะห์ค่าตั้งและการทดสอบของ น้ำแข็ง-น้ำсолน, ปริมาณน้ำฝน, อุณหภูมิ

Model Summary

Model	R	R Square	Adjusted R Square	Std. Error of the Estimate
1	.1.000(a)	1.000	1.000	1.000

a Predictors: (Constant), temperature, rain, tide

Coefficients(a)

Model		Unstandardized Coefficients			Sig.	95% Confidence Interval for B Lower Bound	Upper Bound
		B	Std. Error	Beta			
		Standardized Coefficients					
1	(Constant)	60654830.356	.000			60654830.356	60654830.356
	tide	14942299.372	.000	1.599		14942299.372	14942299.372
	rain	-12816.782	.000	.783		-12816.782	-12816.782
	temperature	-3381819.799	.000	-1.738		-3381819.799	-3381819.799

a Dependent Variable: พนพากษา

ANOVA(b)

Model		Sum of Squares	df	Mean Square	Sig.	
					F	F Sig.
1	Regression	883768373693.185	3	294589457897.728		
	Residual	.000	0			
	Total	883768373693.185	3			

a Predictors: (Constant), temperature, rain, tide

b Dependent Variable: พนพากษา

ตารางที่ ช-37 ตารางแสดงค่า R^2 และการวิเคราะห์ความถูกต้องของโมเดล สำหรับ ความชื้นในอากาศ, ปริมาณฝน

Model Summary

Model	R	R Square	Adjusted R Square	Std. Error of the Estimate
1	1.000(a)	1.000	1.000	1.000

a Predictors: (Constant), rain, humidity, tide

Coefficients(a)

Model		Unstandardized Coefficients			Standardized Coefficients			95% Confidence Interval for B		
		B	Std. Error	Beta	Sig.	Lower Bound	Upper Bound	(a)		
1	(Constant)	-40908439.633	.000		1	-40908439.633	-40908439.633			
	tide	559933.232	.000	.060		559933.232	559933.232			
	humidity	488319.913	.000	.955		488319.913	488319.913			
	rain	2734.685	.000	.167		2734.685	2734.685			

a Dependent Variable: พุ่มพันธุ์ไม้

ANOVA(b)

Model		Sum of Squares	df	Mean Square	Sig.	
					F	
1	Regression	883768373693.185	3	294589457897.728		
	Residual		0			
	Total	883768373693.185	3			

a Predictors: (Constant), rain, humidity, tide

b Dependent Variable: พุ่มพันธุ์ไม้

ตารางที่ ญ-38 ตารางแสดงค่า R^2 และการวิเคราะห์สำหรับการการทดสอบของ น้ำ แข็ง-น้ำแข็ง, ความชื้นในอากาศ, อุณหภูมิ

Model Summary

Model	R	R Square	Adjusted R Square	Std. Error of the Estimate
1	1.000(a)	1.000	1.000	.

a Predictors: (Constant), temperature, humidity, tide

Coefficients(a)

Model		Unstandardized Coefficients		Standardized Coefficients		95% Confidence Interval for B	
		B	Std. Error	Beta	t	Sig.	Lower Bound
							Upper Bound
1	(Constant)	-23048801.134	.000				-23048801.134
	tide	3089035.141	.000	.331			3089035.141
	humidity	402450.118	.000	.787			402450.118
	temperature	-594684.270	.000	-.306			-594684.270

a Dependent Variable: น้ำแข็ง [ก]

ANOVA(b)

Model		Sum of Squares	df	Mean Square		Sig.
				F	Sig.	
1	Regression	883768373693.185	3	294589457897.728		(a)
	Residual		0			
	Total	883768373693.185	3			

a Predictors: (Constant), temperature, humidity, tide

b Dependent Variable: น้ำแข็ง [ก]

ตารางที่ ญ-39 ตารางแสดงค่า R^2 และการวิเคราะห์ส่วนของการทดสอบของ อุณหภูมิ, ปริมาณน้ำฝน, ความชื้นในอากาศ

Model Summary

Model	R	R Square	Adjusted R Square	Std. Error of the Estimate
1	1.000(a)	1.000	1.000	.

a Predictors: (Constant), humidity, rain, temperature

Coefficients(a)

Model	Unstandardized Coefficients		Standardized Coefficients		Sig.	95% Confidence Interval for B Lower Bound	
	B	Std. Error	Beta	t			
	(Constant)	.000				-44862493.468	-44862493.468
1	temperature	131660.762	.000	.068		131660.762	131660.762
	rain	3340.134	.000	.204		3340.134	3340.134
	humidity	507331.148	.000	.993		507331.148	507331.148

a Dependent Variable: วัสดุภายใน

ANOVA(b)

Model		Sum of Squares	df	Mean Square	F	Sig.
1	Regression	883768373693.185	3	294589457897.728		
	Residual	.000	0			(a)
	Total	883768373693.185	3			

a Predictors: (Constant), humidity, rain, temperature

b Dependent Variable: วัสดุภายใน

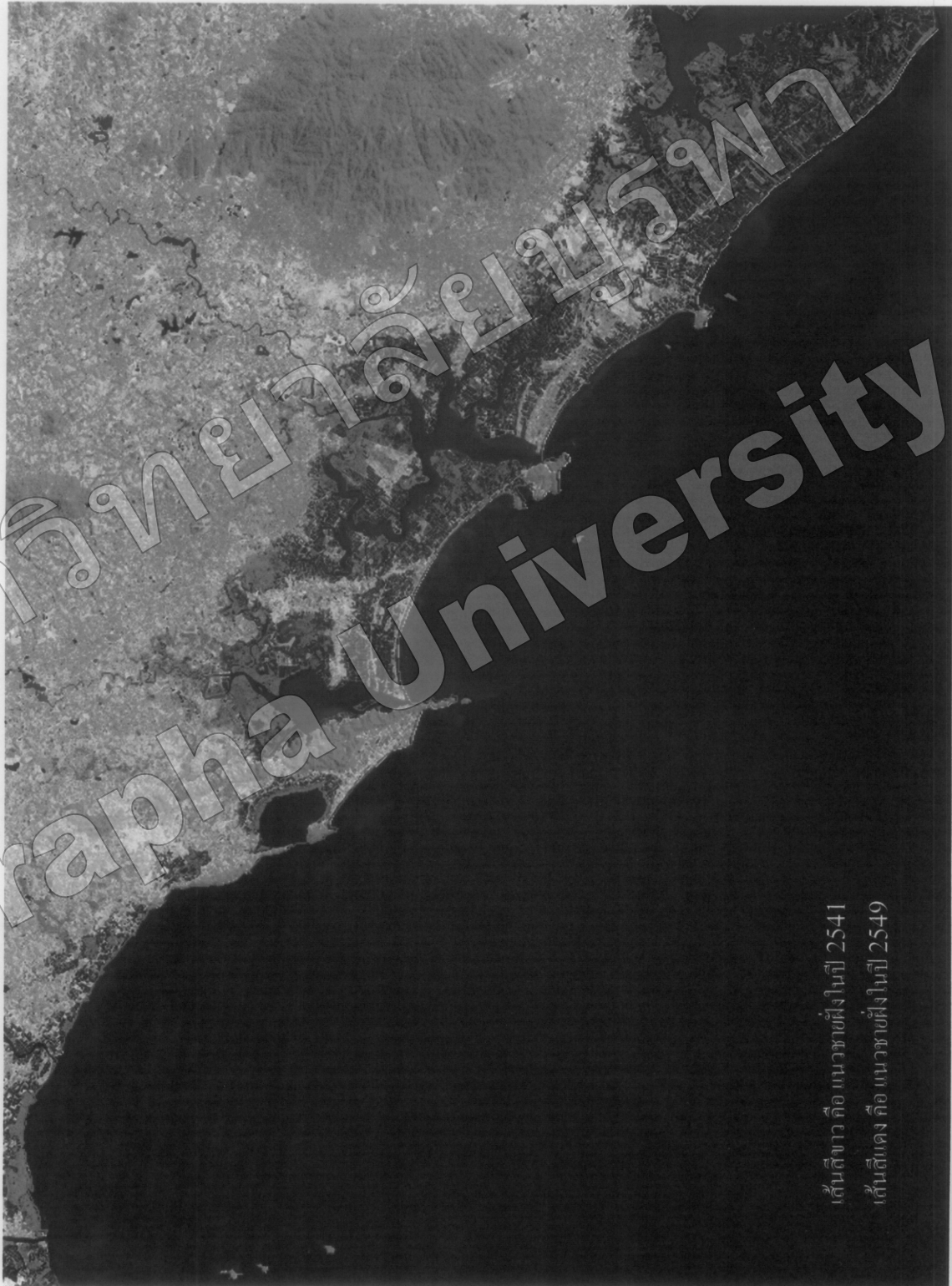
ภาคผนวก ค

การเปลี่ยนแปลงพื้นที่ชายฝั่งจากภาพถ่ายดาวเทียม LANDSAT

ตั้งแต่ปี 2541 - 2549

บูรพา
Burapha University

ภาพที่ ค-1 การเปลี่ยนแปลงพื้นที่ราชบัณฑิตยานุสรณ์
ตามดาวเทียม LANDSAT ปี 2541 – 2549



ประวัติย่อของผู้วิจัย

ชื่อ-สกุล

วัน เดือน ปี เกิด

สถานที่เกิด

สถานที่อยู่ปัจจุบัน

นางสาวสุพัชรีกรรณ พลเคน

วันที่ 10 กรกฎาคม พุทธศักราช 2529

อำเภอเมือง จังหวัดชลบุรี

41/4 หมู่ 1 ตำบลหนองไม้แดง อำเภอเมืองชลบุรี
จังหวัดชลบุรี 20000

ประวัติการศึกษา

พ.ศ. 2543

พ.ศ. 2546

มัธยมศึกษาตอนต้น โรงเรียนชลกันยานุกูล

มัธยมศึกษาตอนปลาย โรงเรียนชลราษฎร์บำรุง